

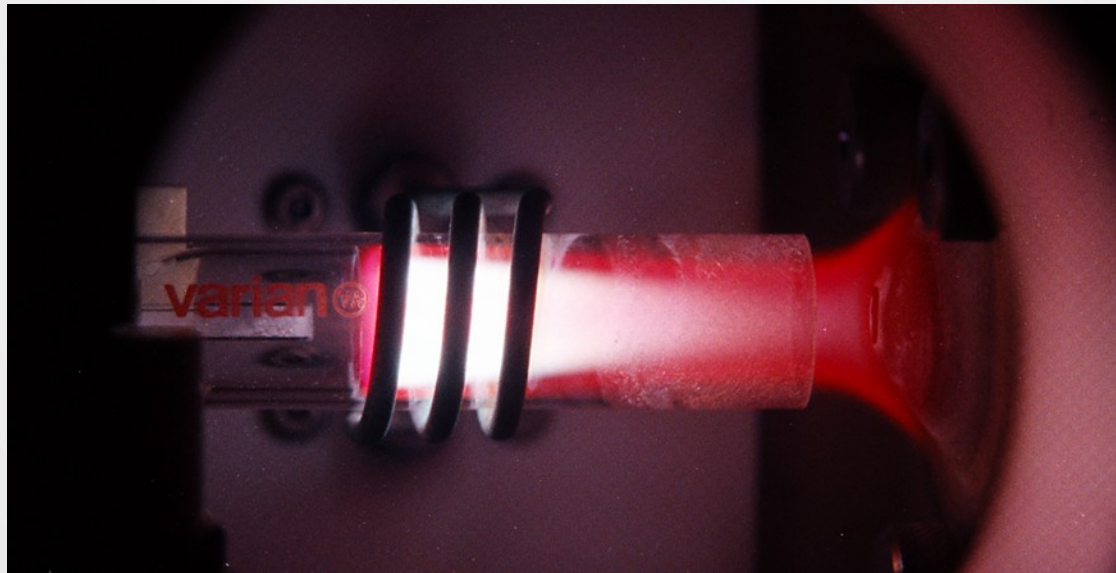
# ICP-MS

ICP hmotnostní spektrometrie

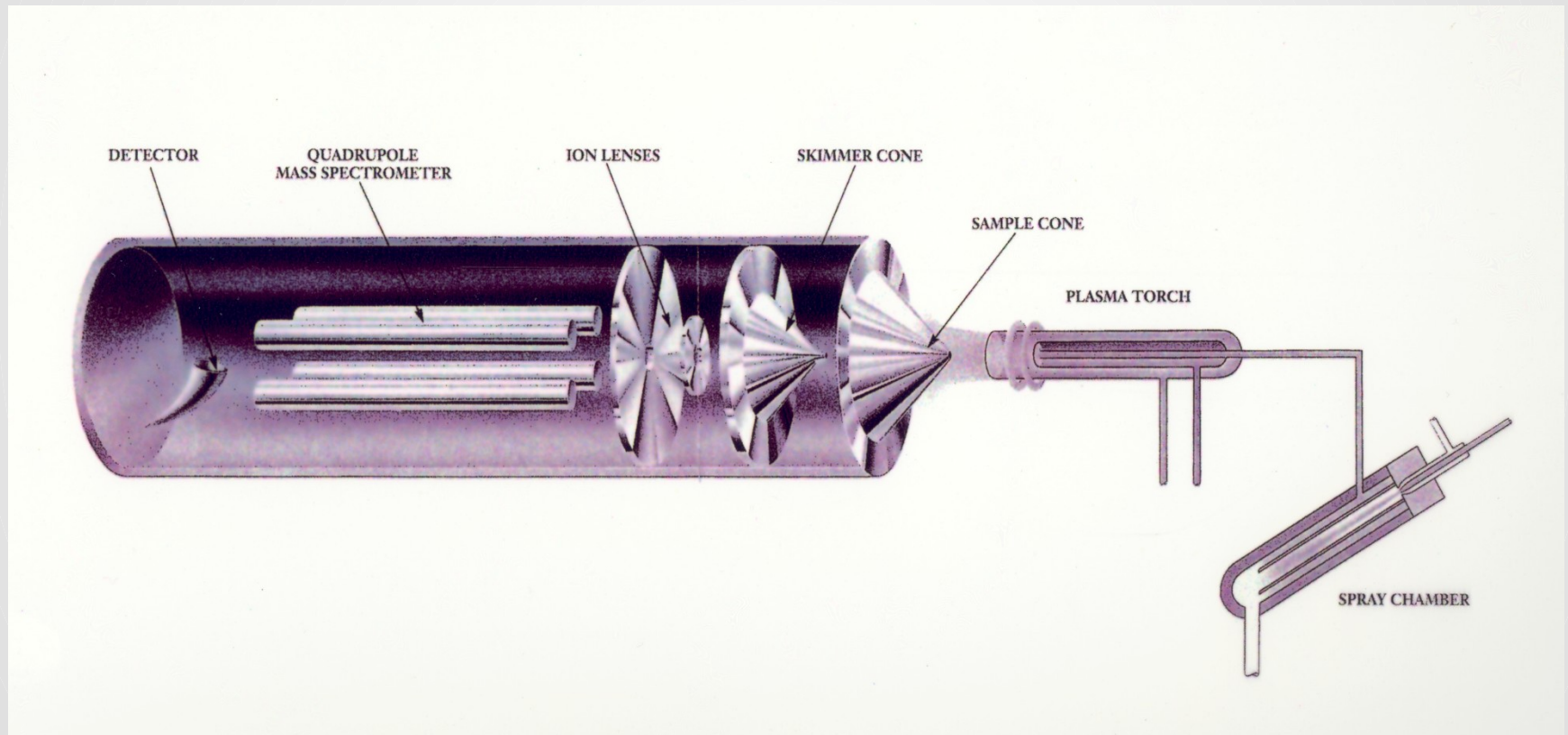
# Iontové zdroje pro prvkovou analýzu

- ICP
- Nízkotlakové plazma HC, Grimmova výbojka
- Mikrovlnná plazmata
- VF a SS jiskra
- Iontový nebo elektronový paprsek
- Korona, Townsendův výboj
- Elektrospray, termospray

# Indukčně vázané plazma



# ICP-MS kvadrupólový spektrometr



# Analytické přednosti ICP-MS

- Rychlá multielementární analýza
- Nízké detekční limity
- Rychlá semikvantitativní analýza
- Izotopová analýza
- Extrémně široký pracovní rozsah koncentrací analytu (až 9 řádů)
- Jednoduchá spektra

# Analyzátořy

- Statické – nutná kombinace elektrického a magnetického pole
  - a) **Sektorové analyzátořy** (ICP-MS obsahů ppt – ppq)
  - b) Spektrometry s dvojí fokuzací (Mattauch-Herzog)
- Dynamické – dostačuje elektrické pole
  - a) Selektivní urychlovače (palletron, Bennetův sp.)
  - b) **Průletové (time-of-flight)**
- Systémy se stabilní drahou – kritické parametry:
  - a) Rychlost (Smythe-Mattauch)
  - b) Fáze (Farvitron)
  - c) **Specifický náboj (kvadrupólový filtr)**

# Detektory

- Měření střední hodnoty iontového proudu  
Plate detector  
Faraday cup (do  $10^{-15}\text{A}$ )
- Počítání iontů  
iontový násobič  
Channeltron  
Multichannel plate detector (MCP)  
Postakcelerační detekce elektronů  
Scintilátor + fotonásobič

# Vakuový systém

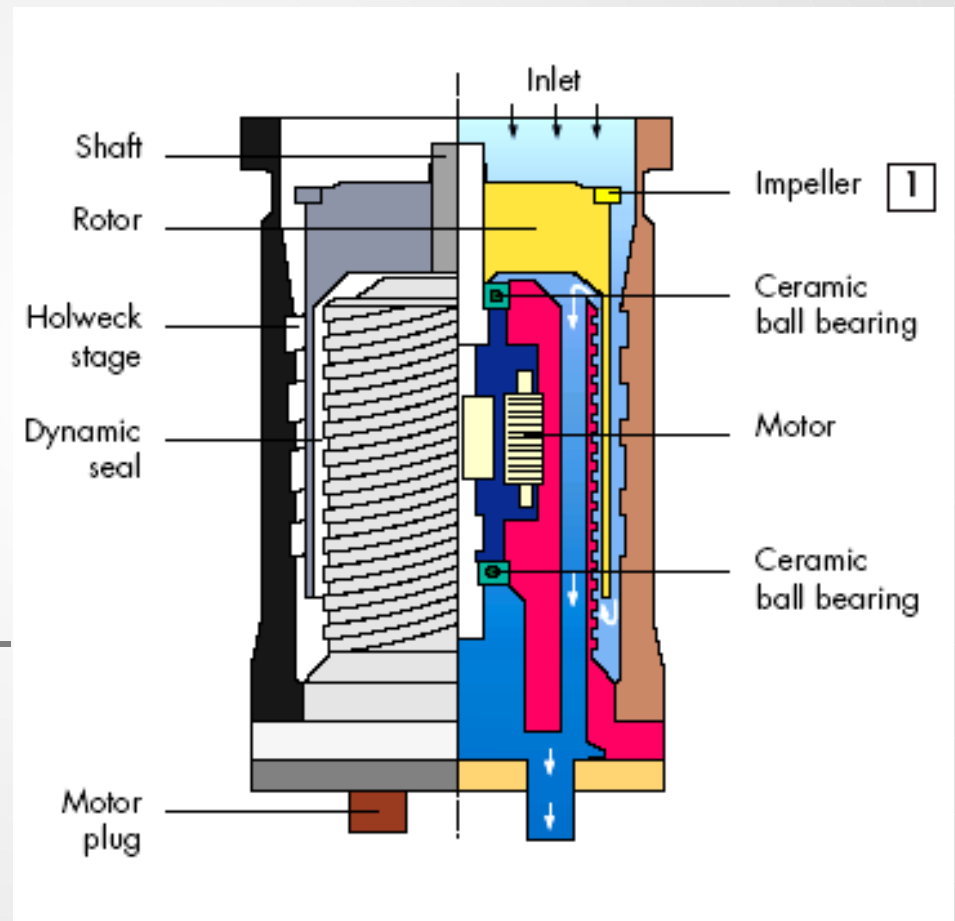
- **Vývěvy**

transportní  
sorpční

- **Vysokovakuová  
aparatura**

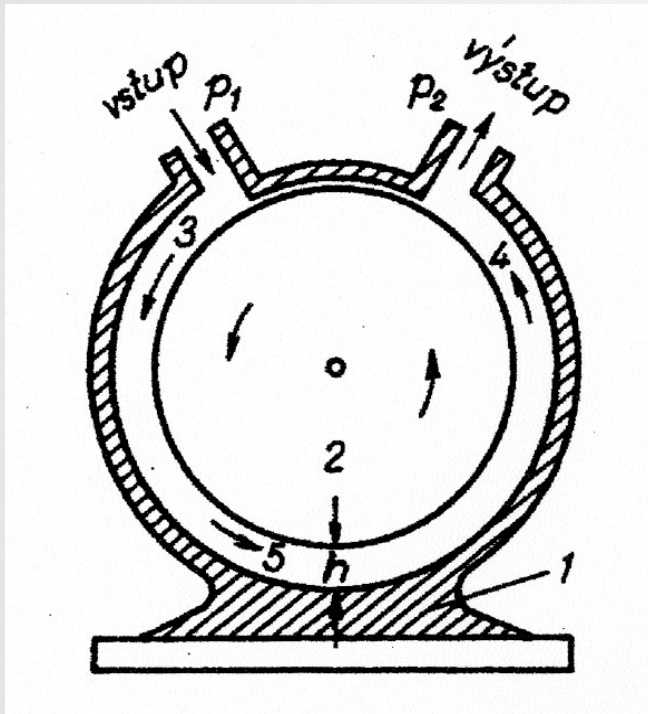
rotační + difúzní  
vývěva

membránová + turbo-  
molekulární vývěva

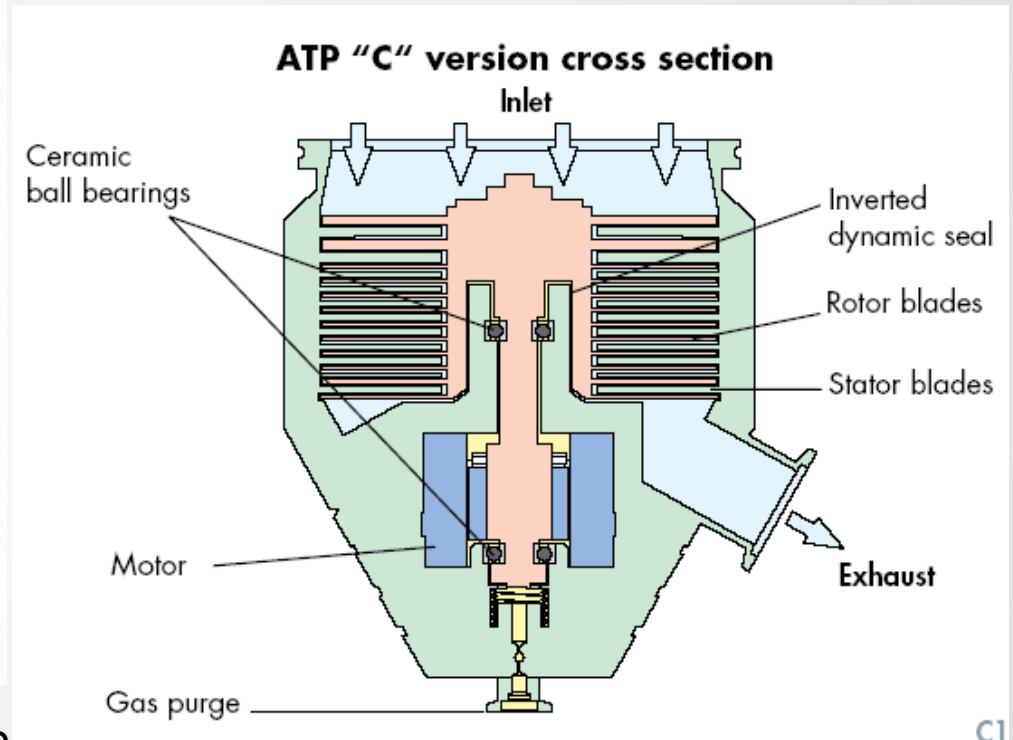




# Turbomolekulární vývěvy



Gaedeho molekulární vývěva  
Mezní tlak 0,0001Pa  
Malá čerpací rychlost



Turbomolekulární vývěva

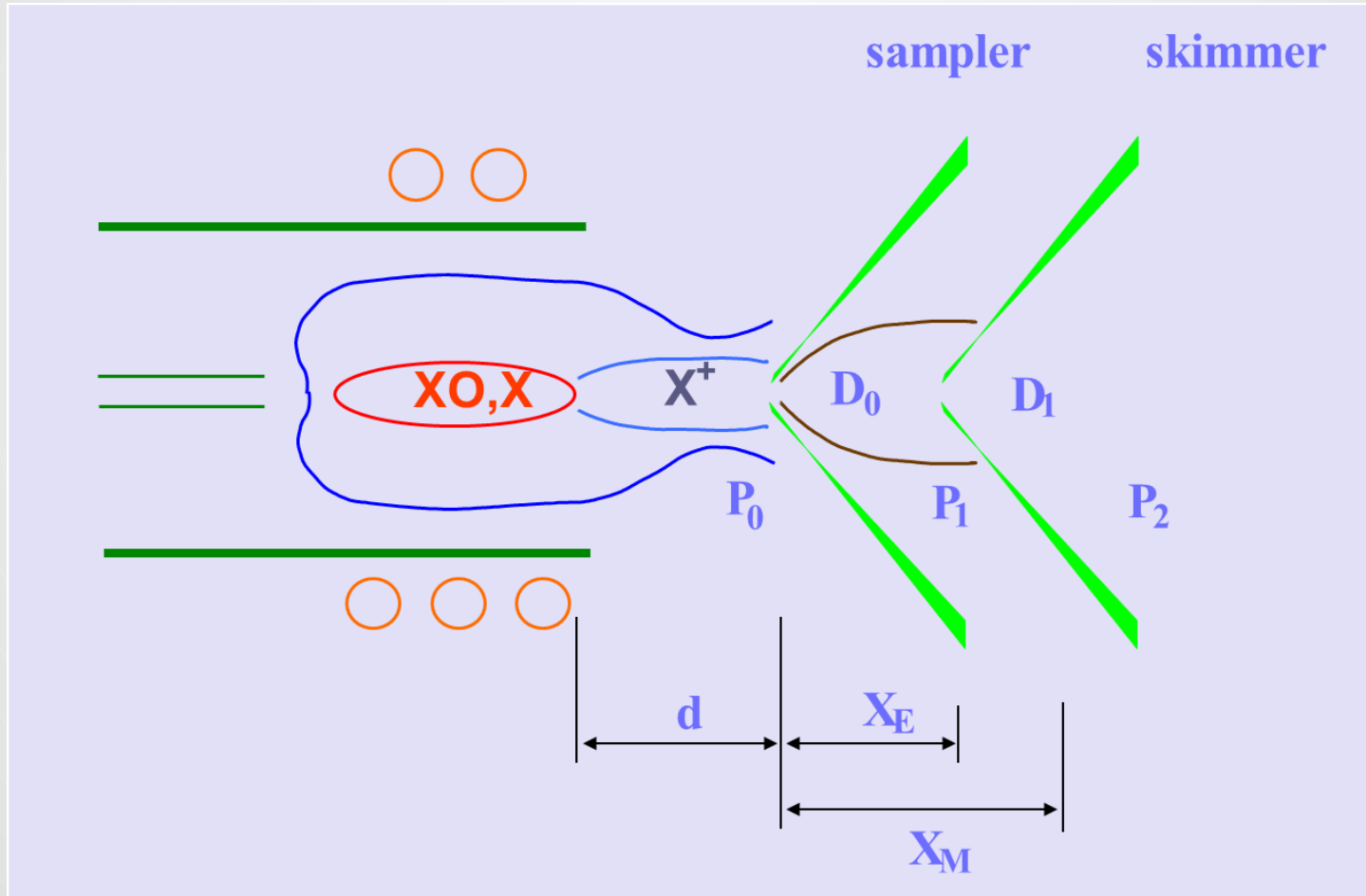
# ICP iontový zdroj

- Většina prvků je ionizována z  $>90\%$  (pouze As z 52%; Se z 33%; S z 14% a F z 0,001%)
- V argonovém ICP plazmatu vznikají přednostně jednou nabitě pozitivní ionty
- Malá disperze kinetické energie iontů – vhodné pro kvadrupólový filtr

# Interface ICP - MS

- musí splňovat tyto požadavky:
  - Vzorkovat ionty v místě jejich vzniku, tj. v analytickém kanále ICP.
  - Převést ionty z oblasti atmosférického tlaku do vakua.
  - Zachovat stechiometrii analytů při transportu iontů.

# Interface



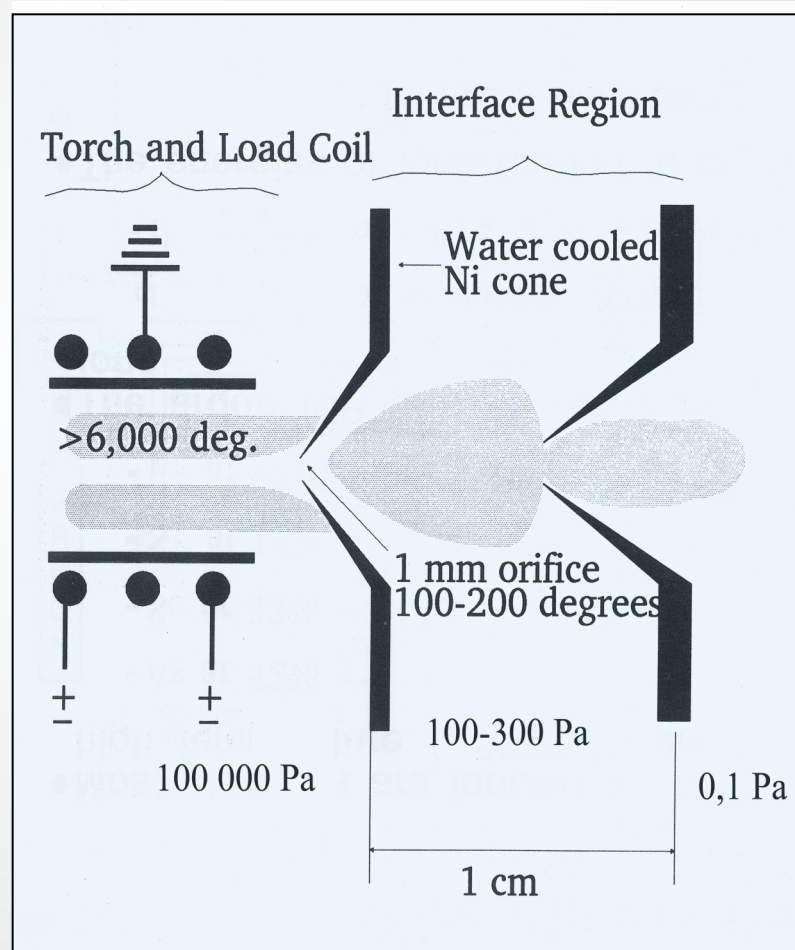
# PE Plasmalok Interface

## Ions must be transferred from:

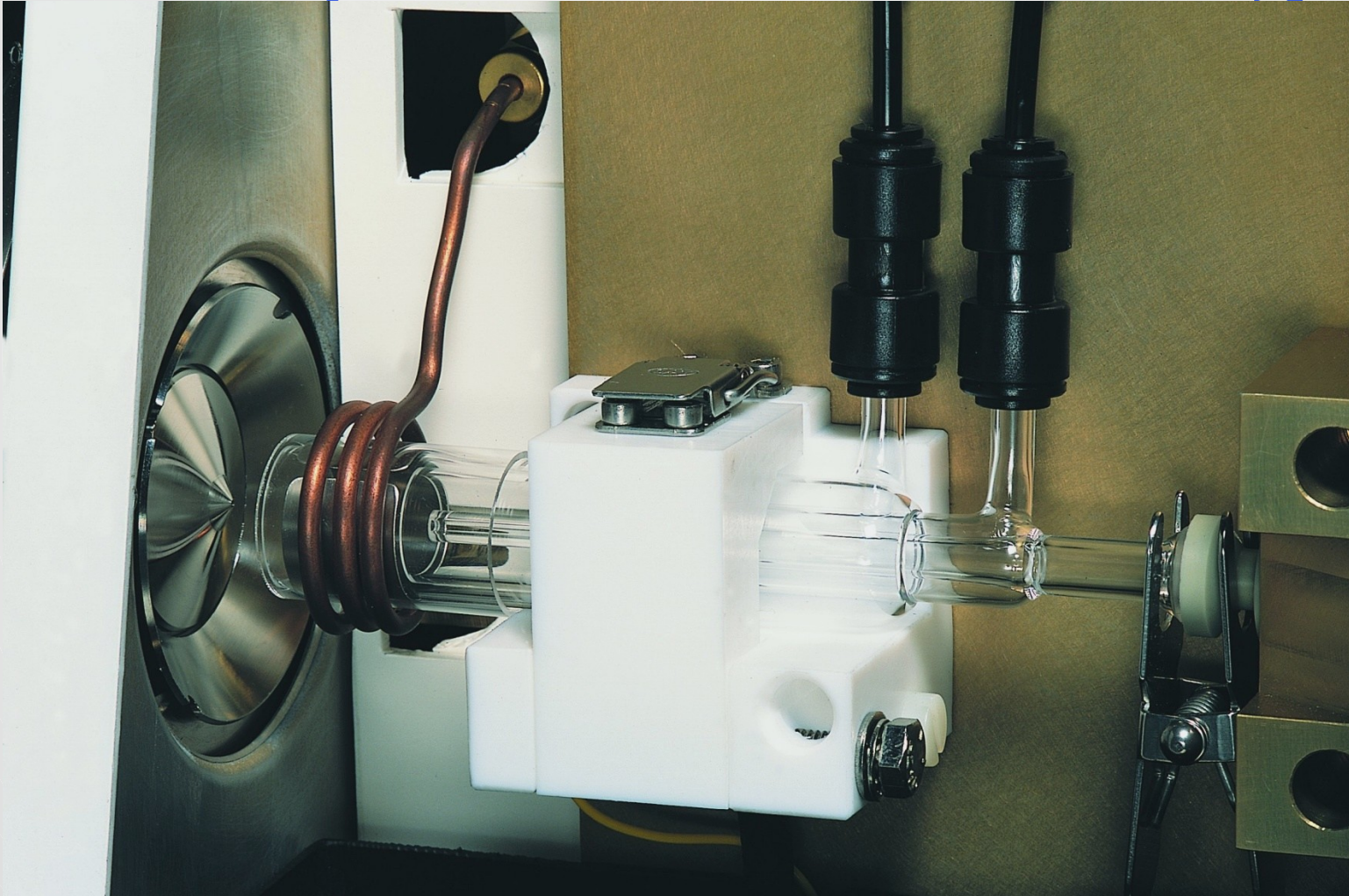
- 6000°C to - 250°C
- atmospheric pressure to  $10^{-5}$  Torr
- a corrosive chemical environment
- an atmosphere of 99.9% argon atoms

## Plasmalok™ Interface Design results in:

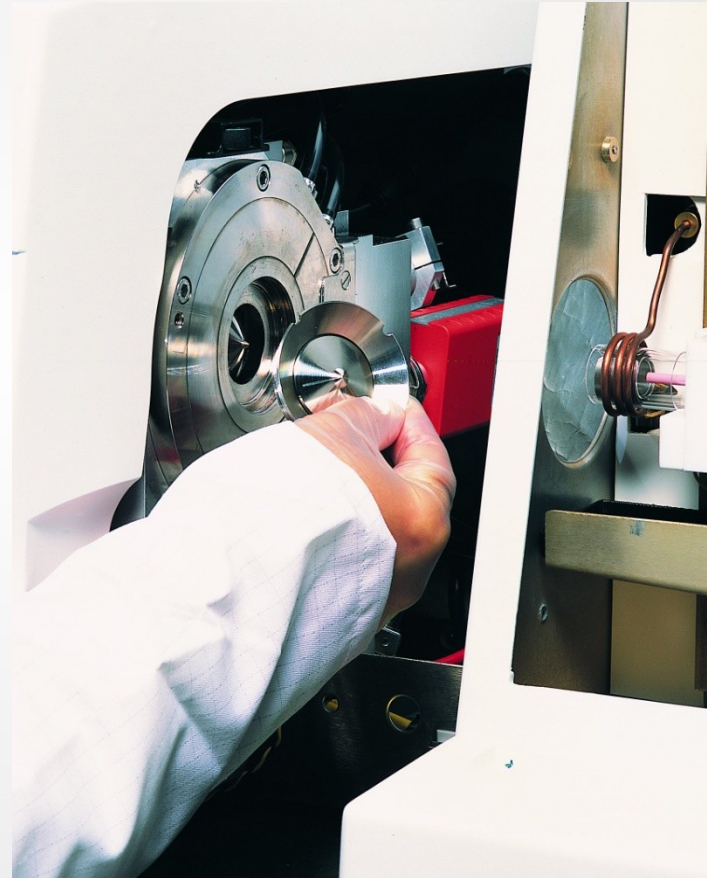
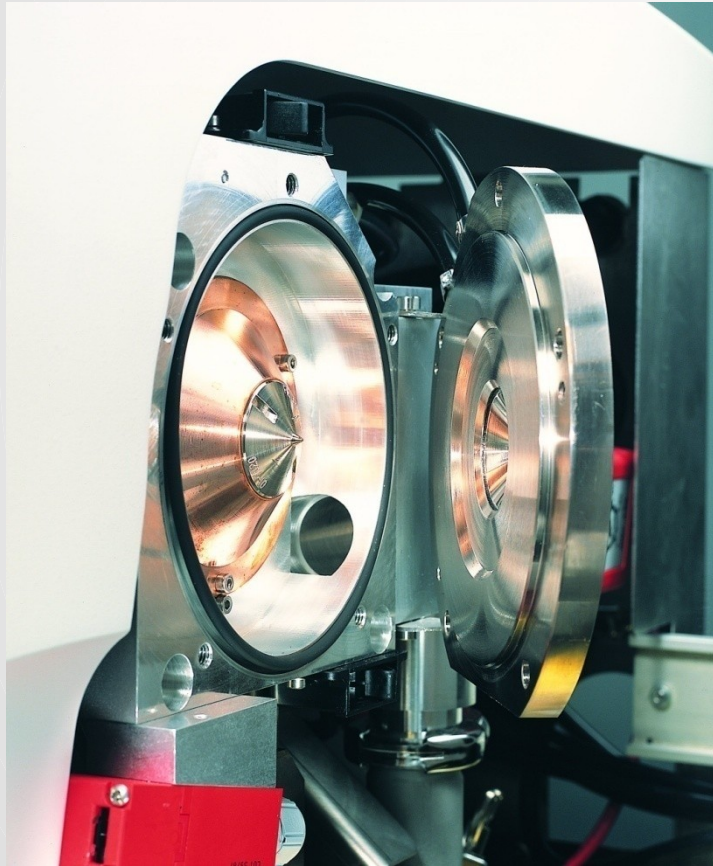
- low ion energies with a small energy distribution
- no orifice discharge, no orifice ions in the spectrum
- long orifice lifetime
- relative independence of the ion optic parameters from the plasma conditions



# Sampler ICP-MS Hilger

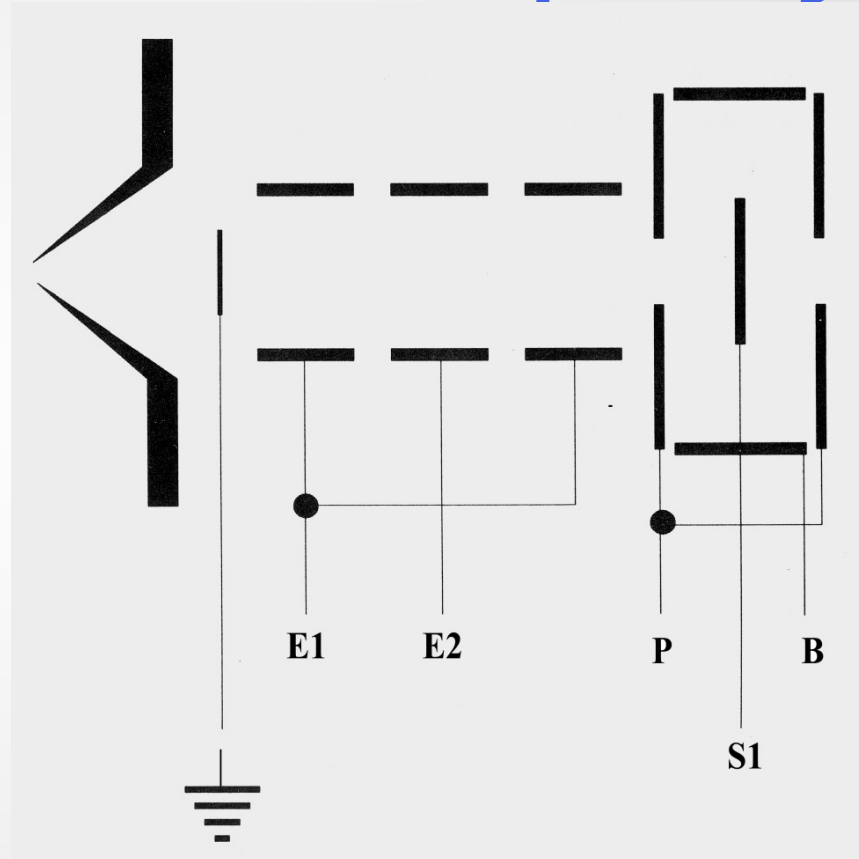


# Interface ICP-MS Hilger



# Funkce iontové optiky

- Extrakce iontů z neutrálních specií
- Fokusace iontů do úzkého kolimovaného paprsku
- Minimální závislost na hmotnosti iontů
- Musí odstranit neutrální atomy, molekuly a fotony



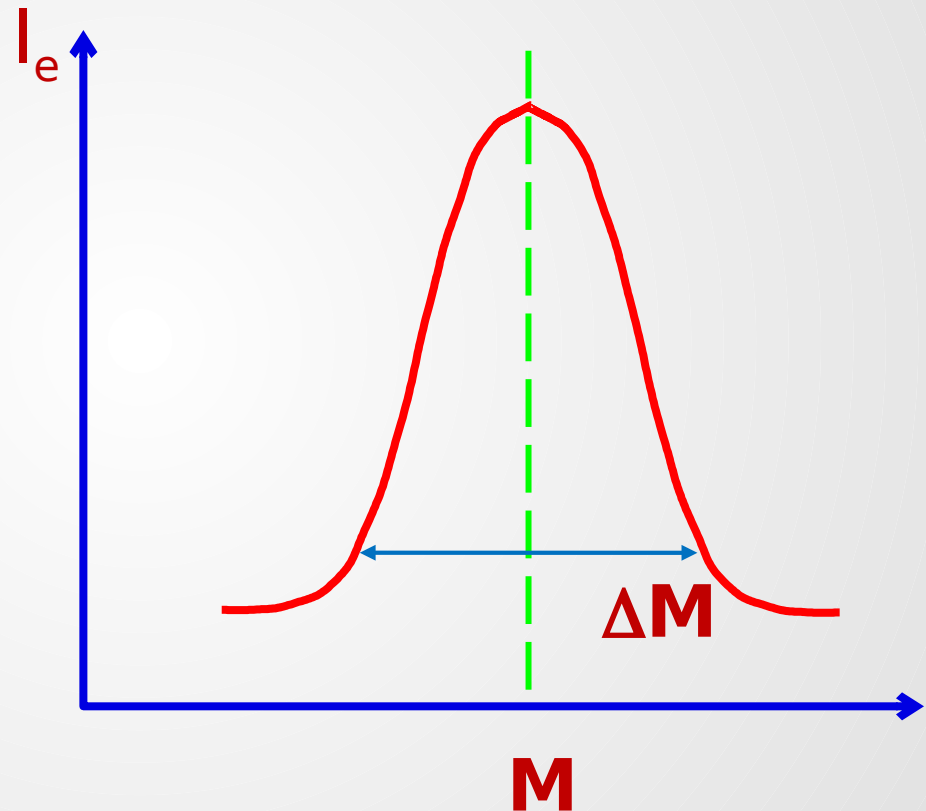


# Analyzátory pro ICP-MS

- **Statické analyzátory** jsou iontově optickou analogií světelného optického spektrometru (hranol + čočka) a označují se také jako **spektrometry deflexní**.
  - Ionty zvoleného poměru  $m/z$  jsou přivedeny na centrální dráhu kombinací statických polí – použití zejména pro
    - spektrometrii vysokého rozlišení (s dvojitou fokusací)
    - měření izotopových poměrů
- **Dynamické analyzátory:**
  - stabilní dráhy iontu  $m/z$  mezi zdrojem a detektorem je dosaženo s využitím radiofrekvenčního pole (kvadrupólový filtr)
  - rozdělení iontů podle  $m/z$  se určí z doby jejich letu mezi zdrojem a detektorem (analyzátor z doby letu)

# Rozlišovací schopnost

- Rozlišovací schopnost  $R$ :  
 **$R = \Delta M / M$**
- $\Delta M$  se měří při 50% (FWHM, Full Width at Half Maximum) nebo 10% maximální výšky píku



# Potřebná rozlišovací schopnost pro eliminaci interferencí

analyt	interferent	rozlišovací schopnost
$^{56}\text{Fe}$	$^{40}\text{Ar}^{16}\text{O}$	2500
$^{75}\text{As}$	$^{40}\text{Ar}^{35}\text{Cl}$	8000
$^{80}\text{Se}$	$^{40}\text{Ar}^{40}\text{Ar}$	9700

# Lorentzova síla

$$\mathbf{F} = q\mathbf{E} + q(\mathbf{v} \times \mathbf{B})$$

kde

$\mathbf{F}$  je Lorentzova síla působící na náboj  $q$

$\mathbf{E}$  je intenzita elektrického pole

$\mathbf{B}$  indukce magnetického pole

$\mathbf{v}$  je rychlost částice

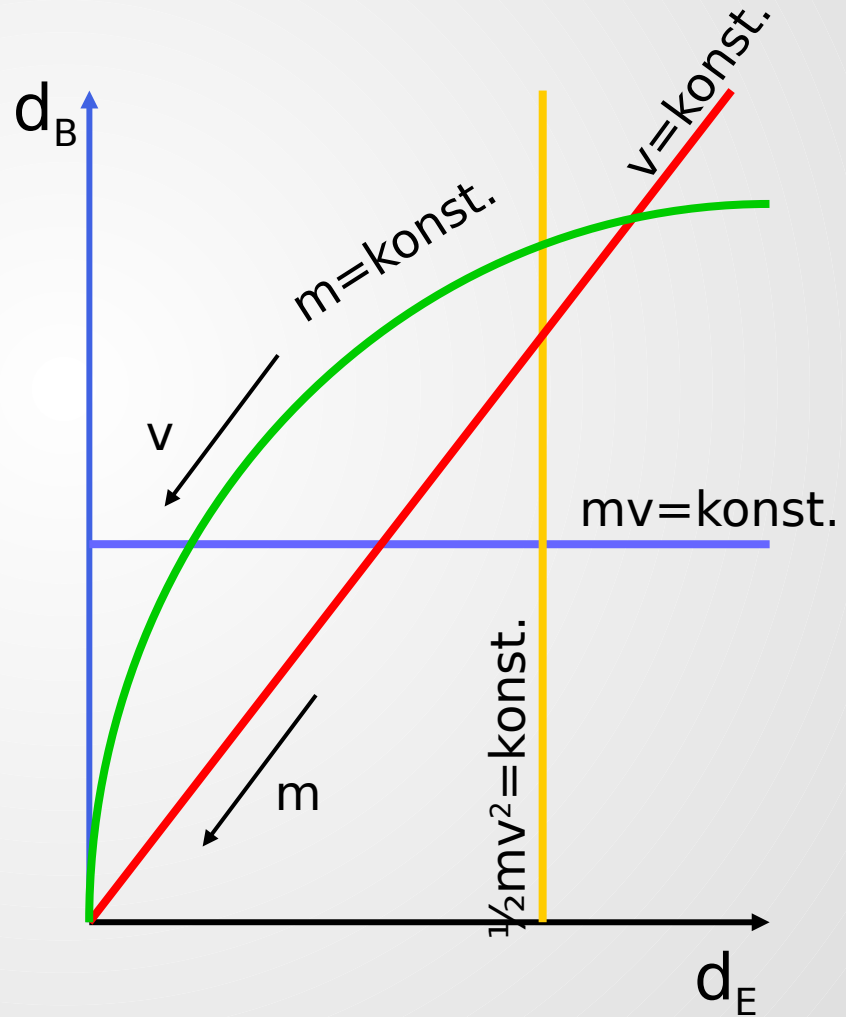
# Statické analyzátořy

- Odchylka dráhy iontu  $d_e$  v elektrickém a  $d_b$  v magnetickém poli:

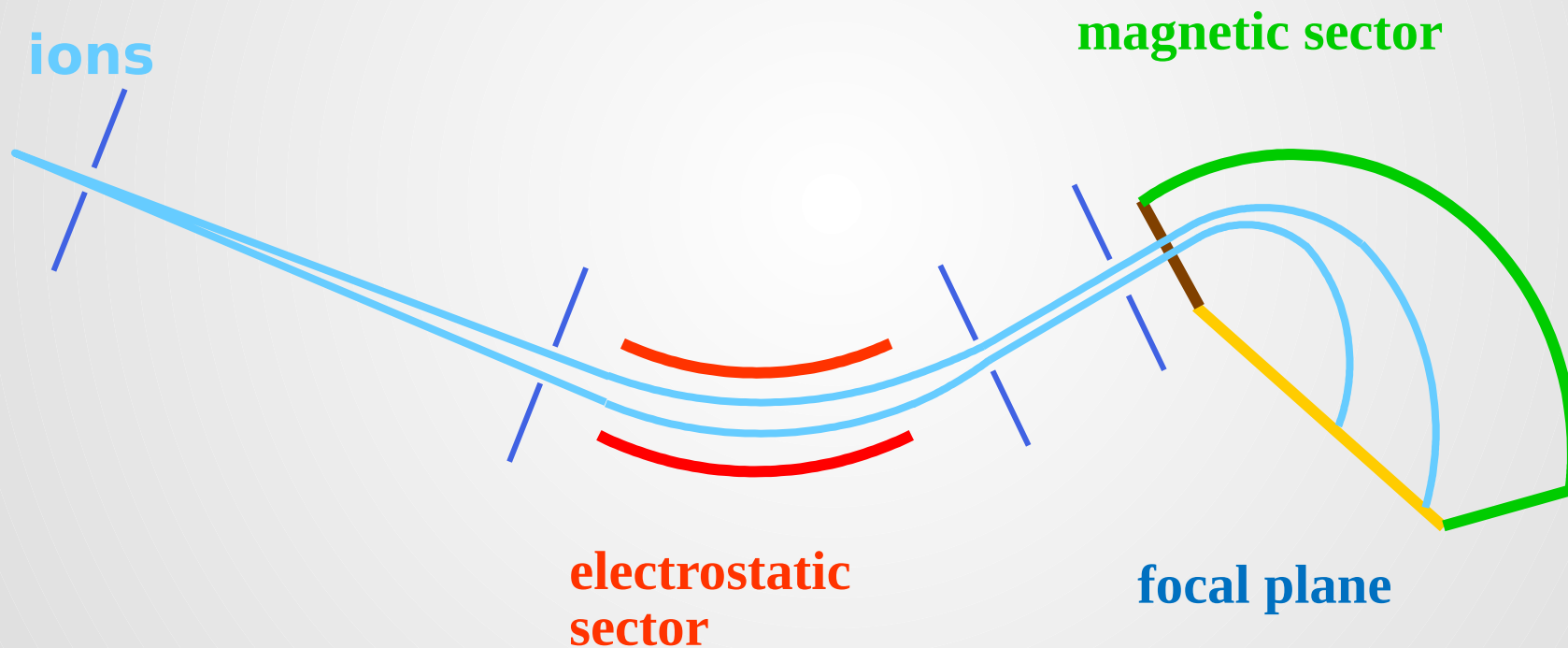
$$d_e \sim e/(mv^2)$$

$$d_b \sim e/(mv)$$

- Ze soustavy těchto rovnic je možné stanovit  $m$  a  $v$ . Pro separaci iontů různých hmot a rychlostí je tedy nutné použít vychylování jak elektrickým, tak magnetickým polem



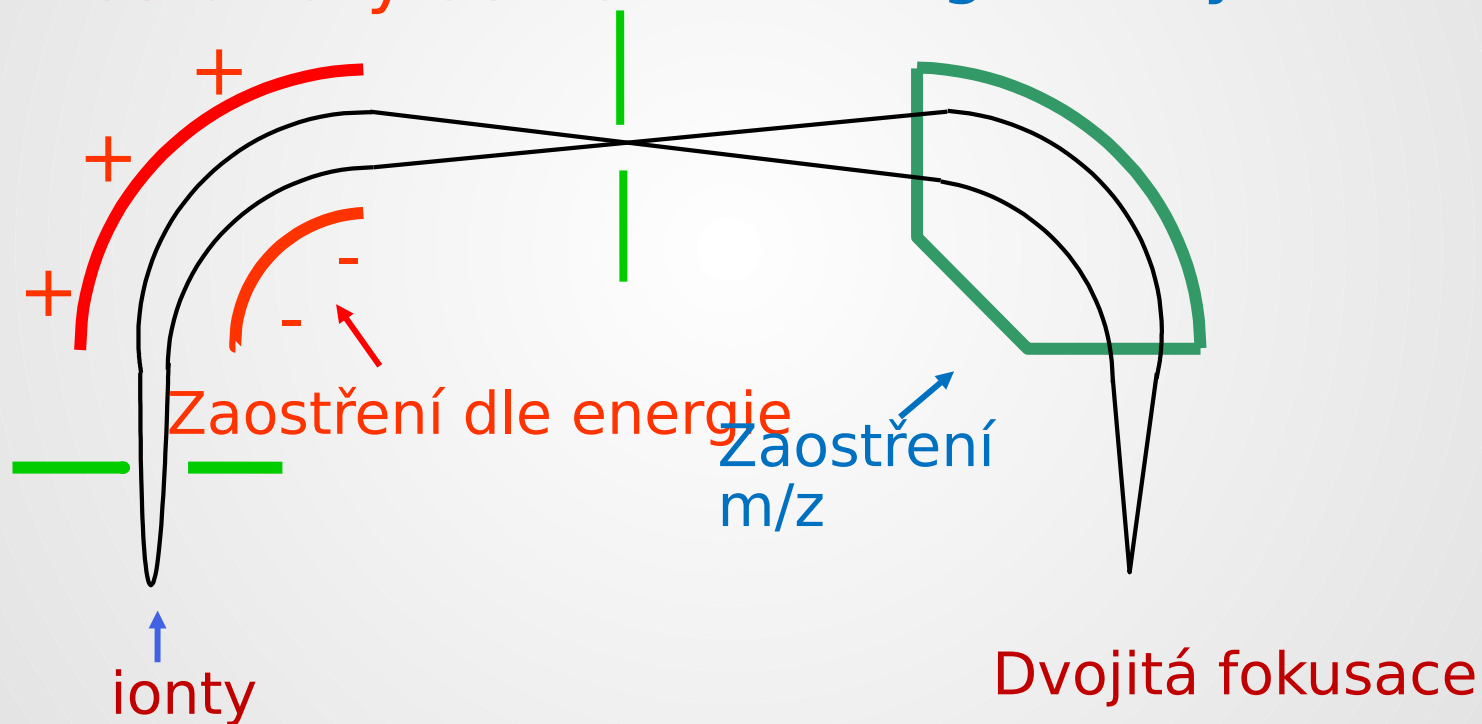
# Mattauch-Herzog sektorový spektrograf



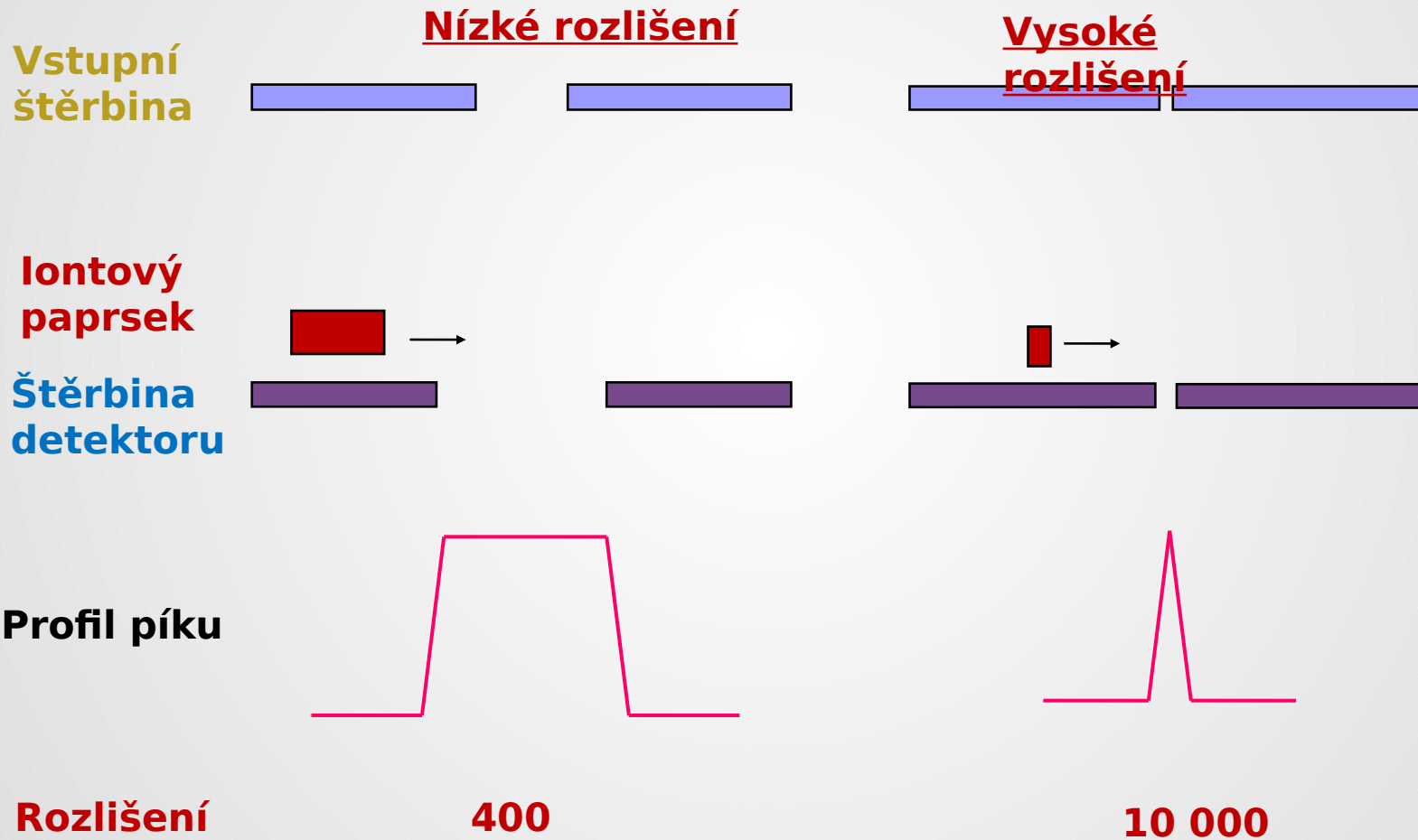
# Nier-Johnson sektorový analyzátor

elektrostatický sektor

magnetický sektor

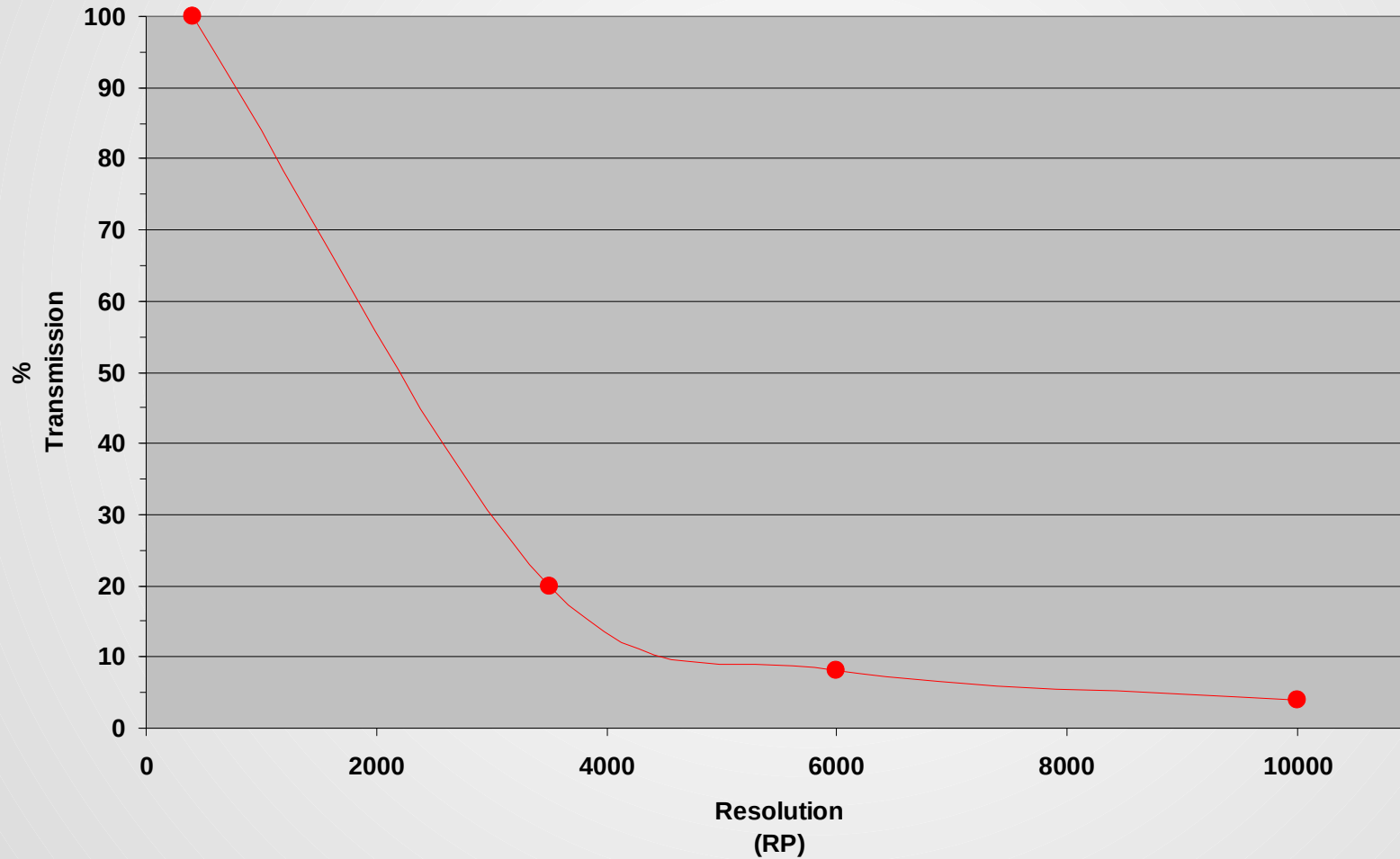


# Rozlišení

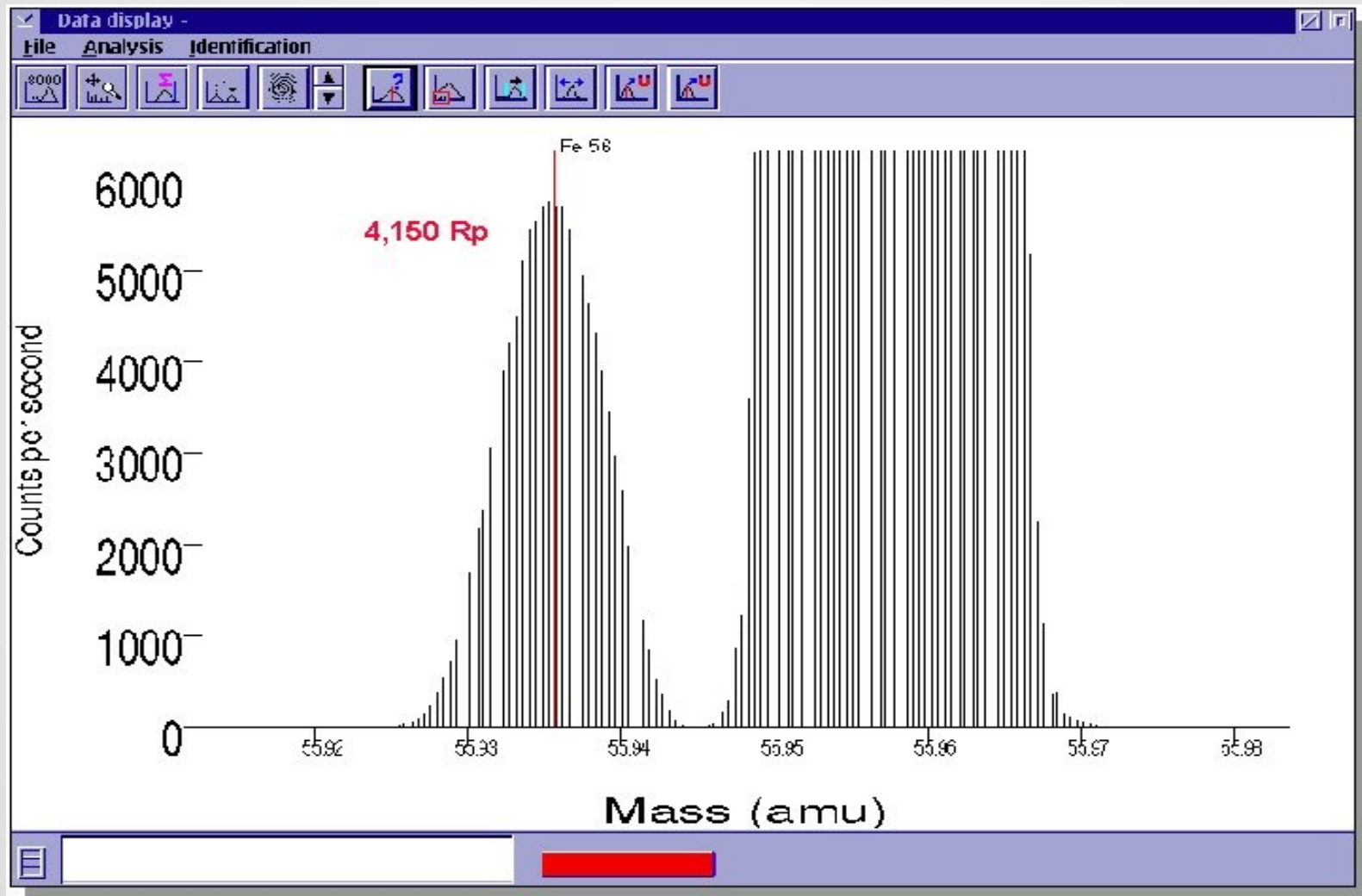




# Propustnost vs. rozlišení (Axiom)

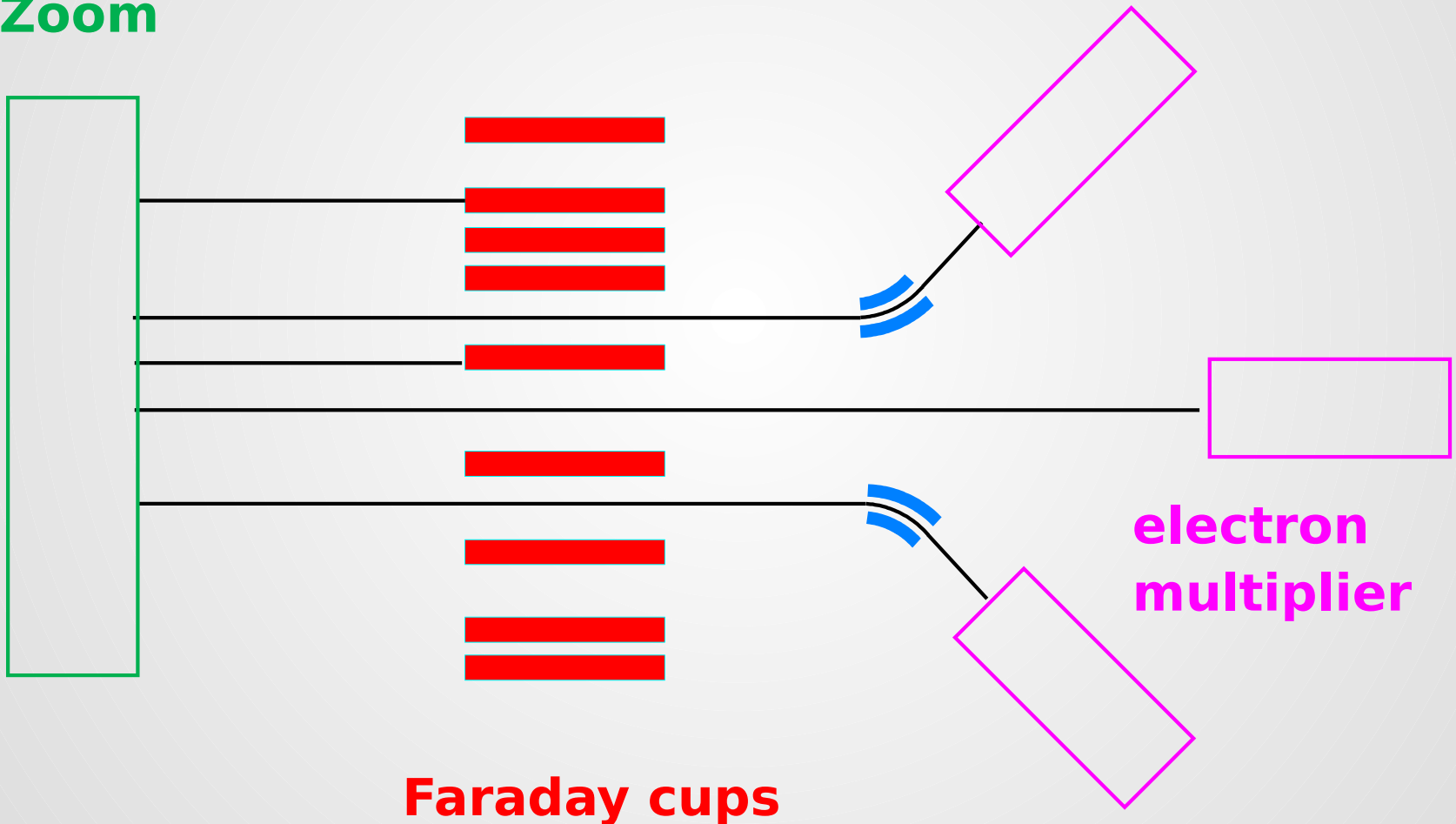


# Separate Fe/ArO



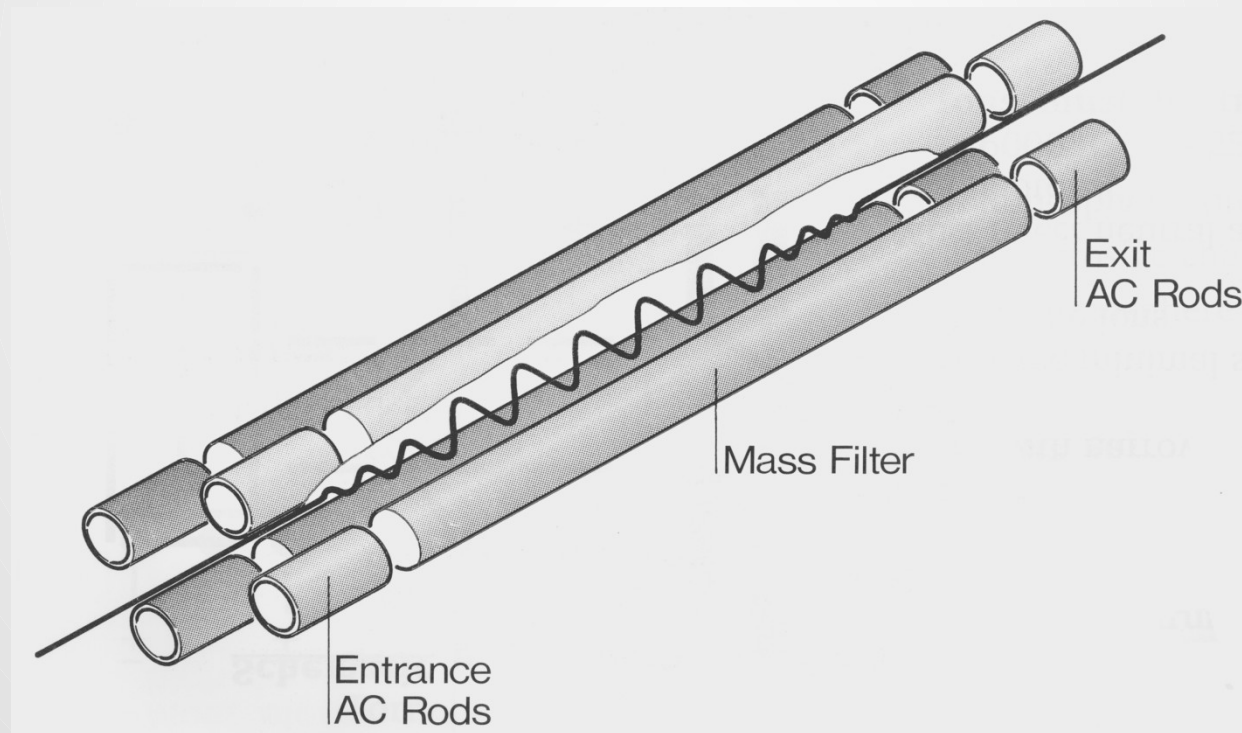
# Multikolektor

Zoom

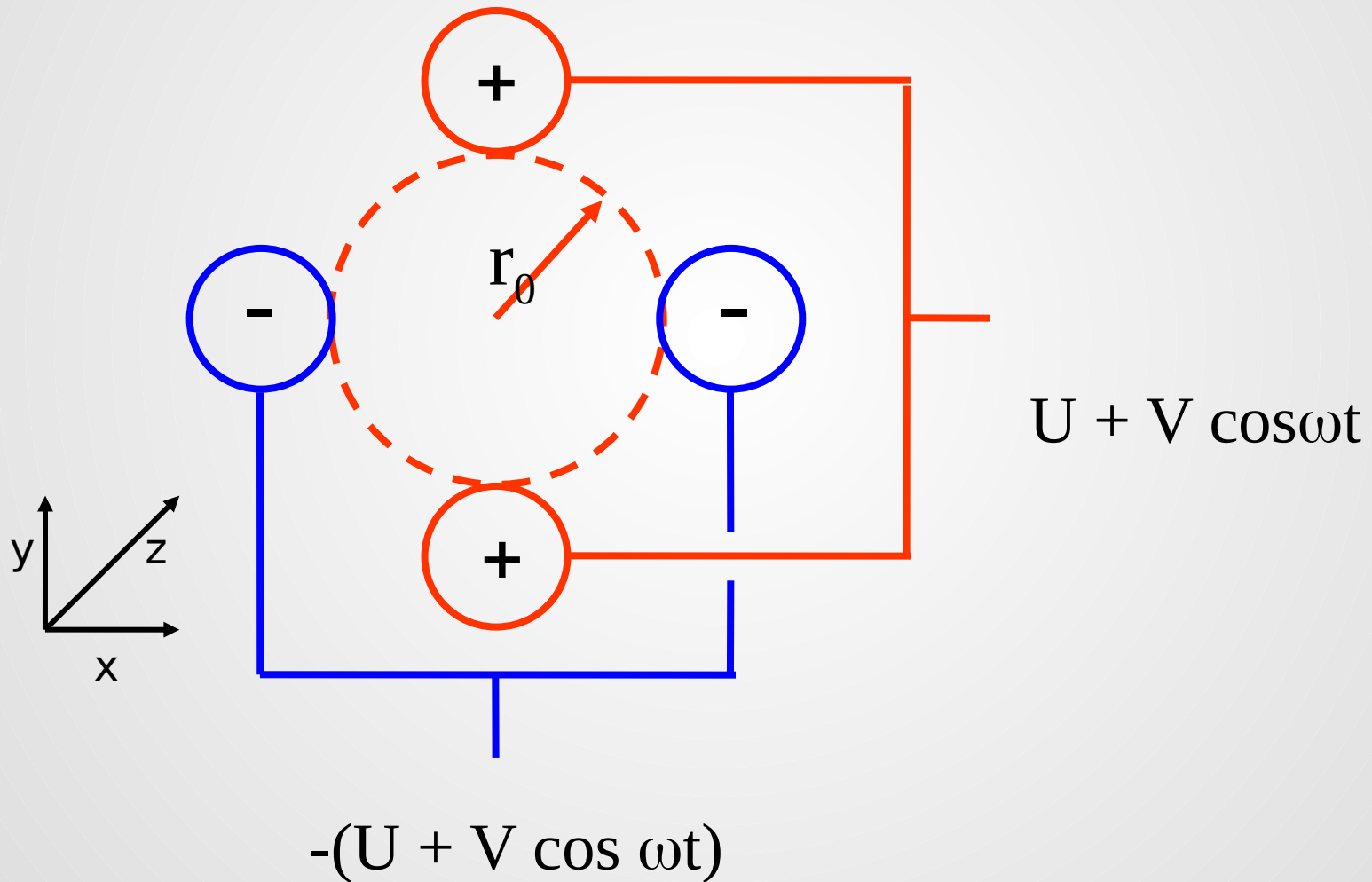


# Kvadrupolový hmotový filtr

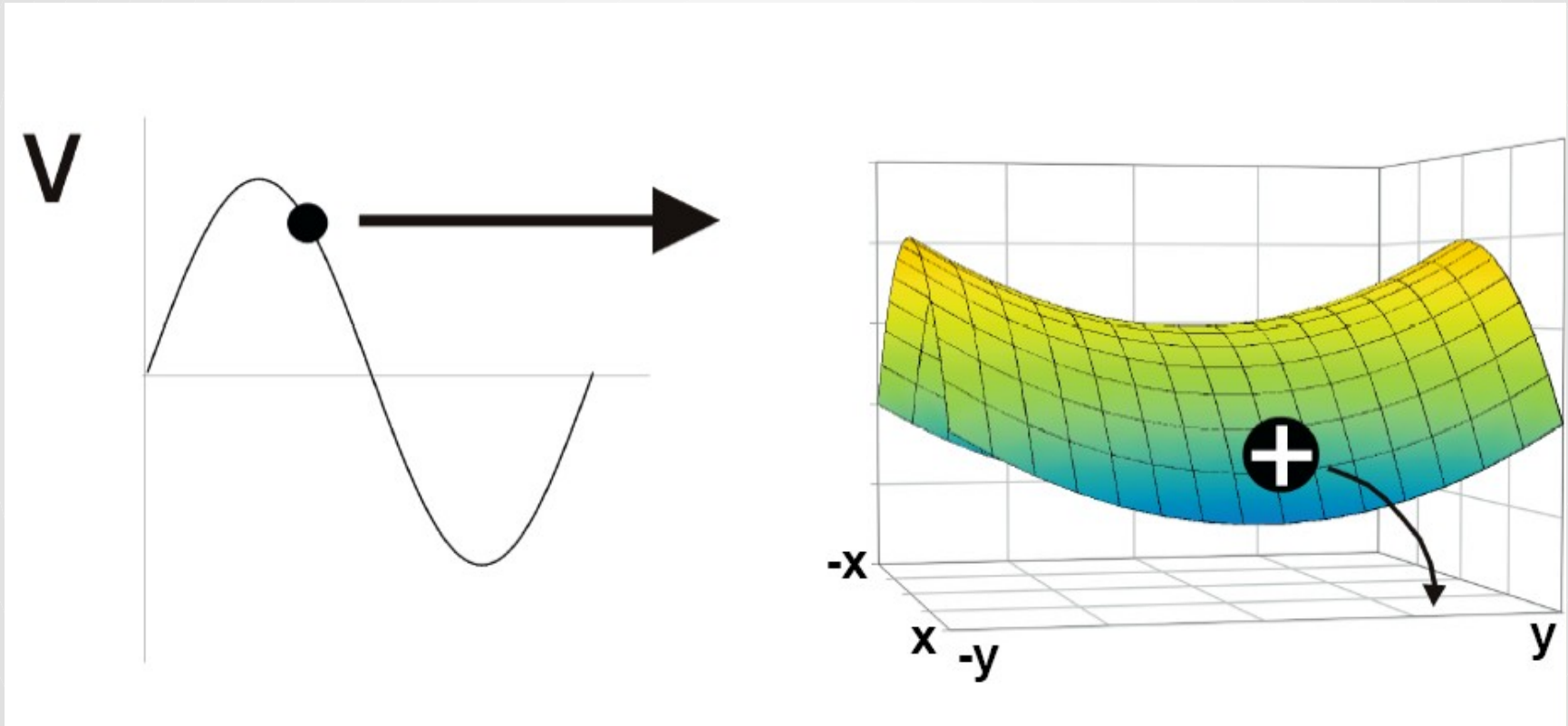
- Je to základní hmotový filtr
- Propouští pouze ionty o určitém poměru  $m/z$
- Propouštěná hmotnost (resp.  $m/z$ ) je lineárně závislá na elektrickém potenciálu elektrod



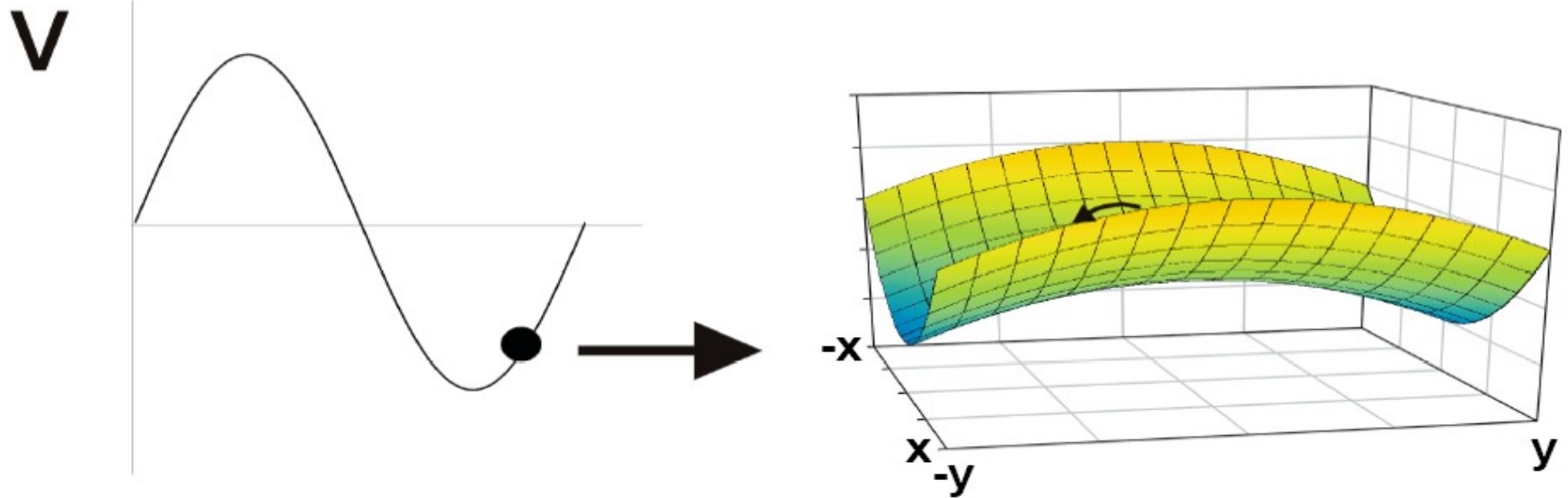
# Princip kvadrupólového filtru



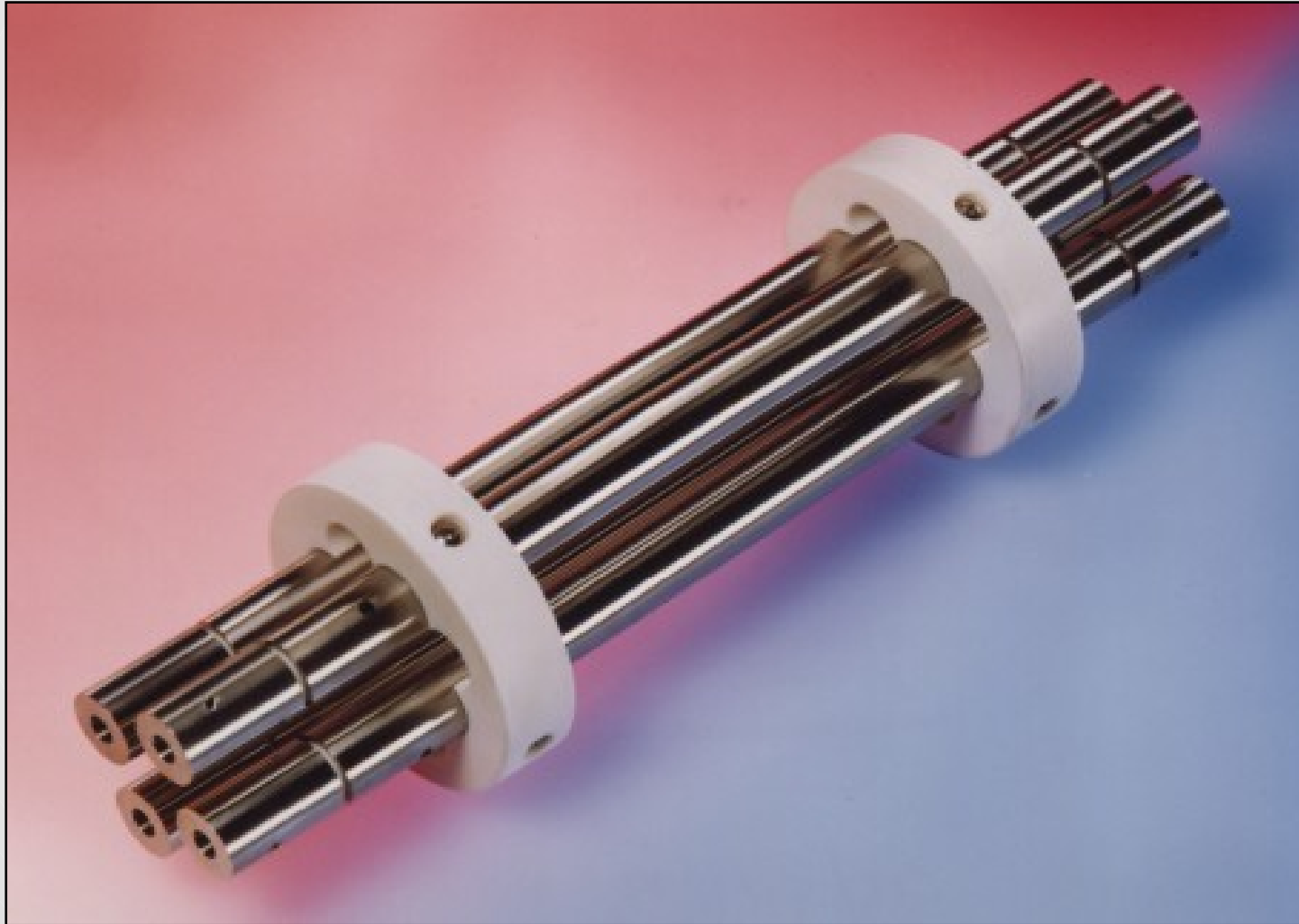
# Kvadrupólové pole +



# Kvadrupólové pole -



# Kvadrupól (Thermo Elemental)



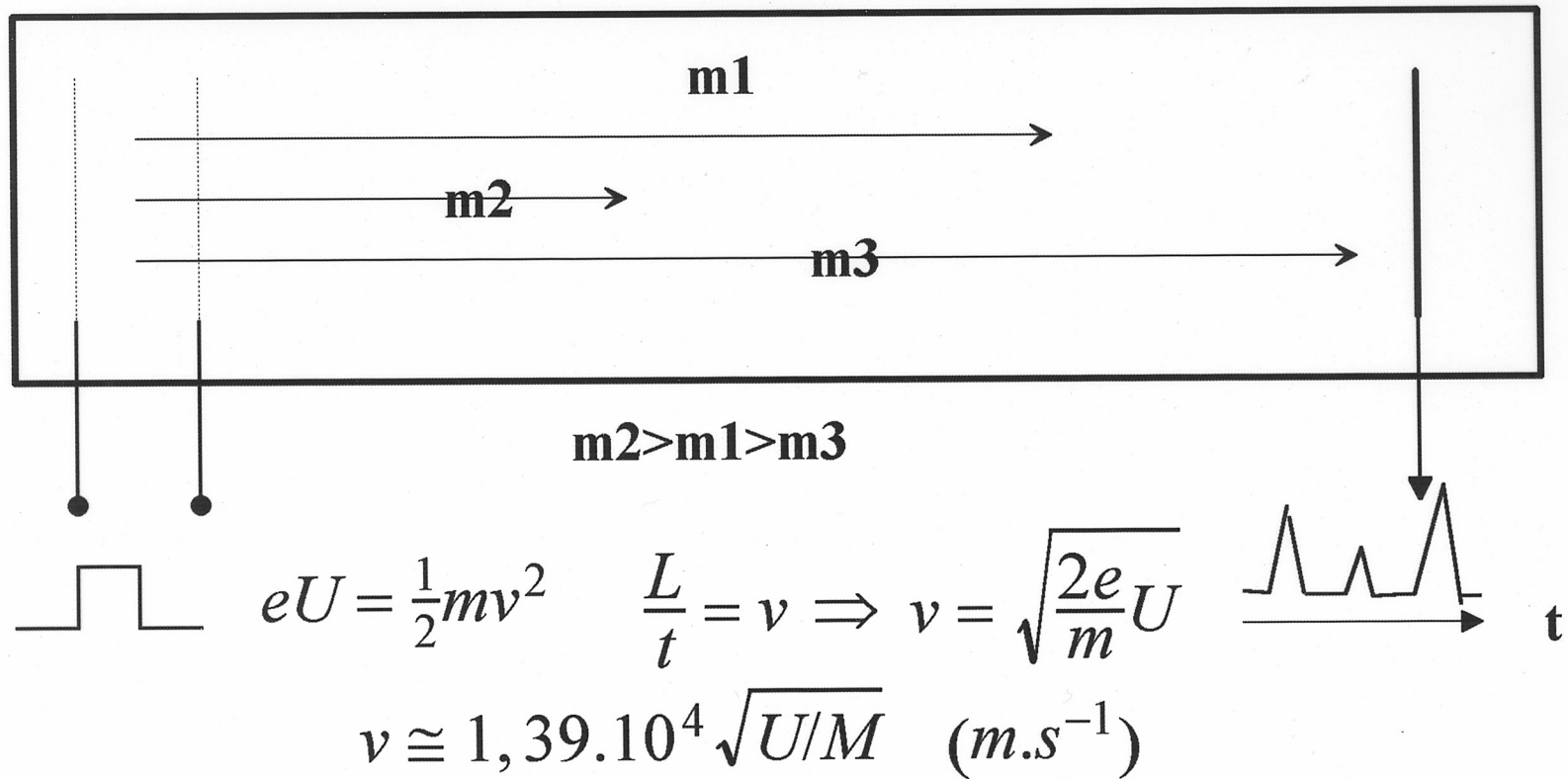


# Animace ICP-MS



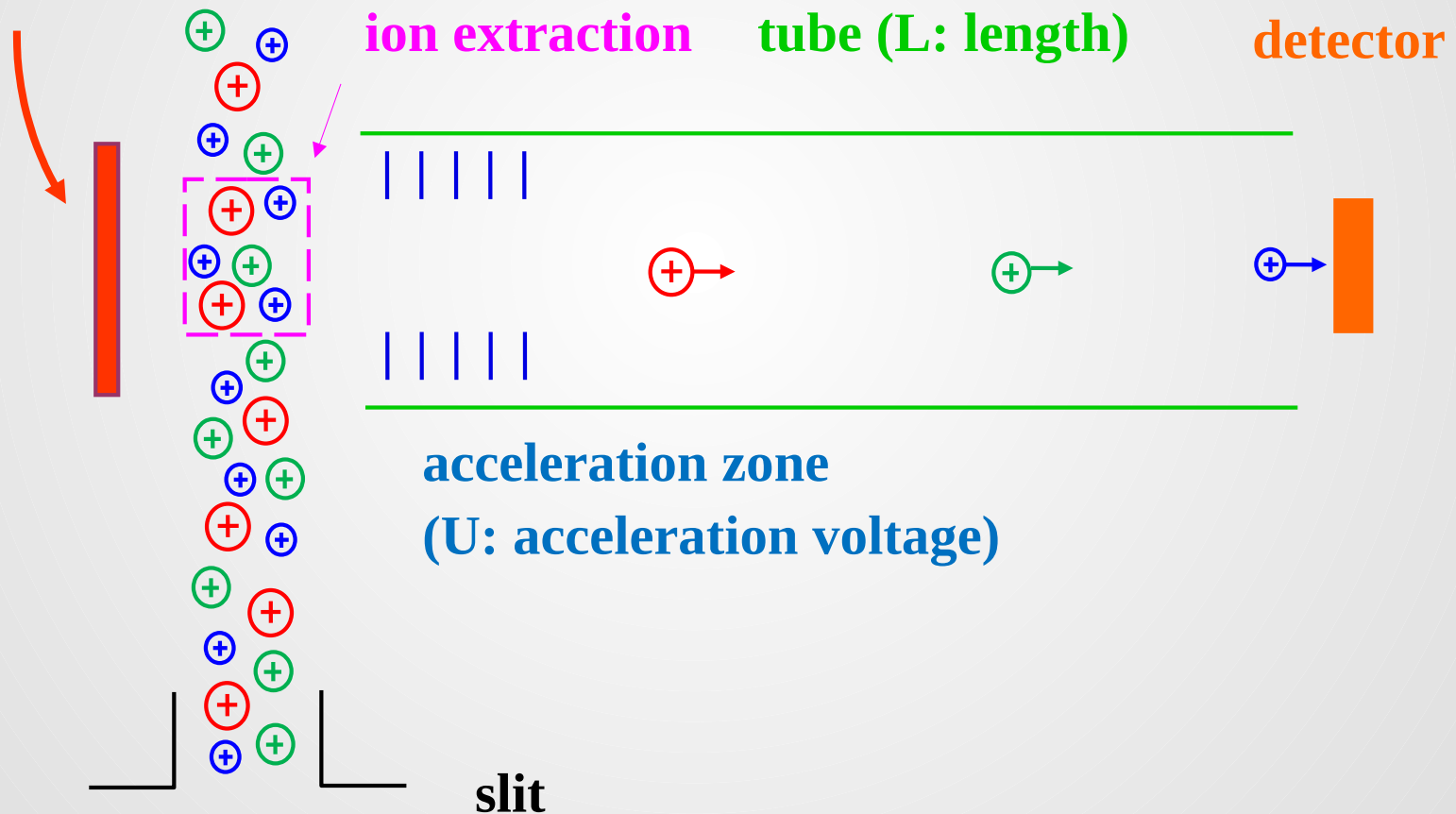
7700series\_animation.htm

# Průletové analyzátořy - TOF

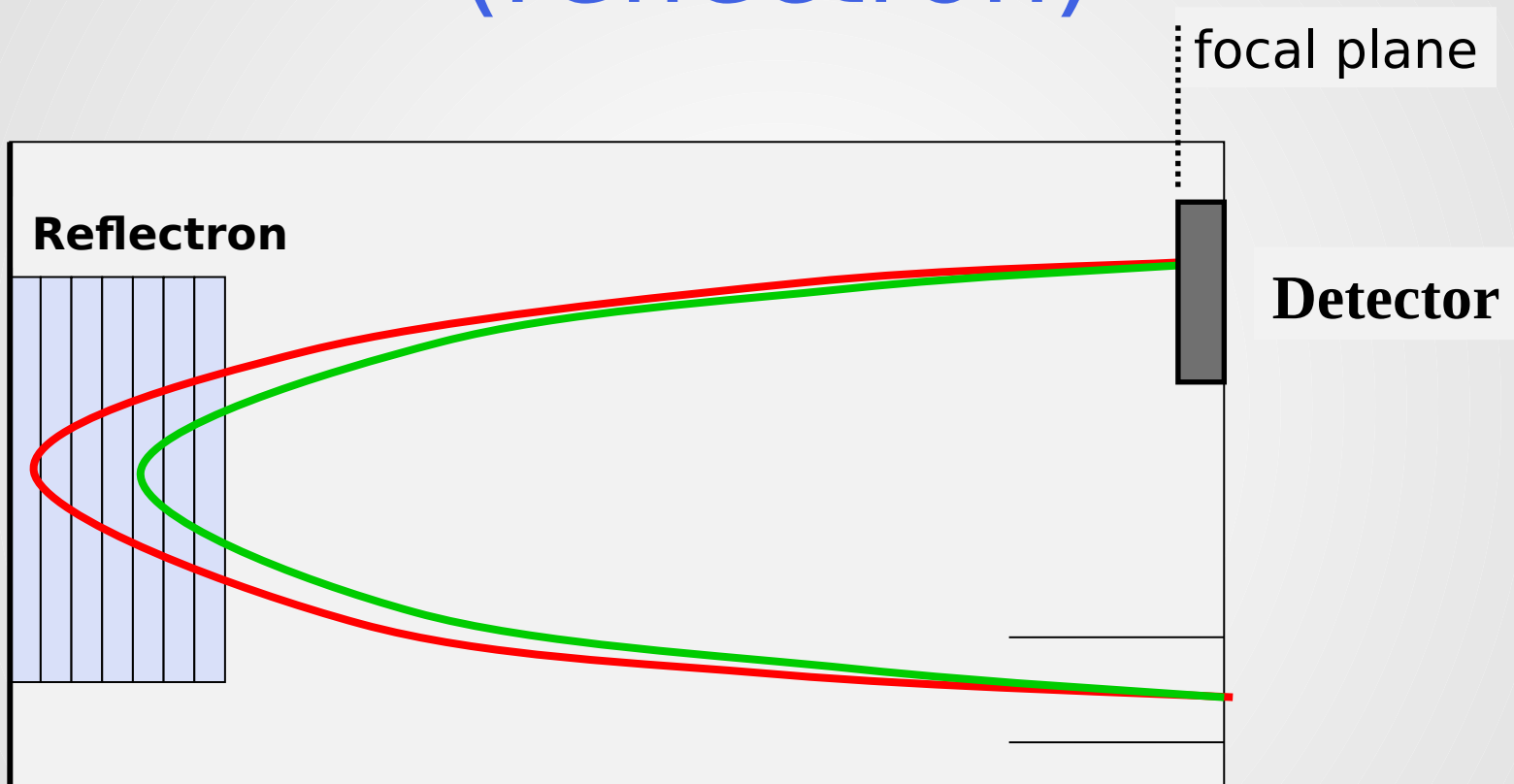


# Time-of-flight mass spectrometry spektrometr s orthogonální extrakcí

repelling plate

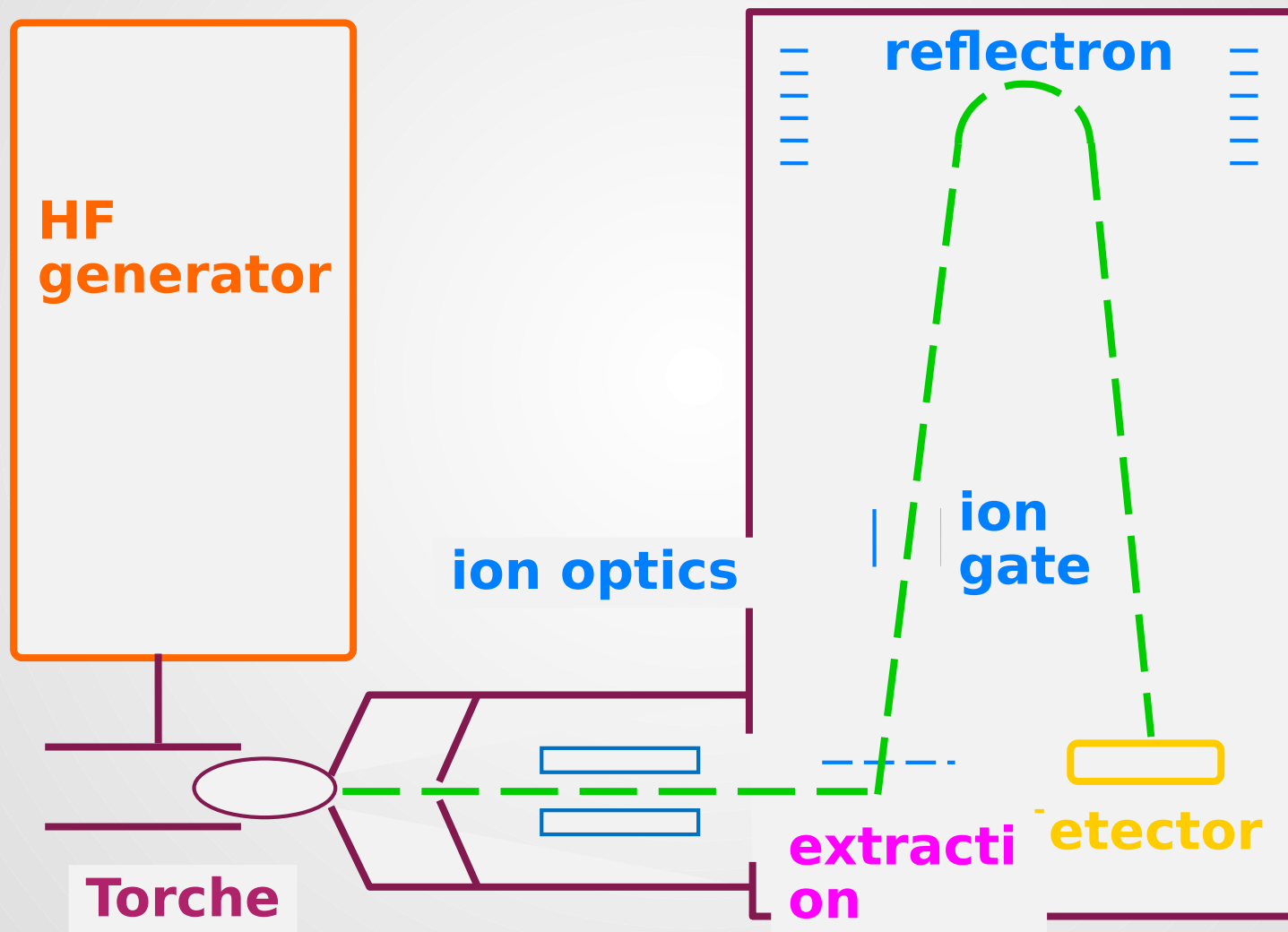


# TOF s iontovým zrcadlem (reflectron)

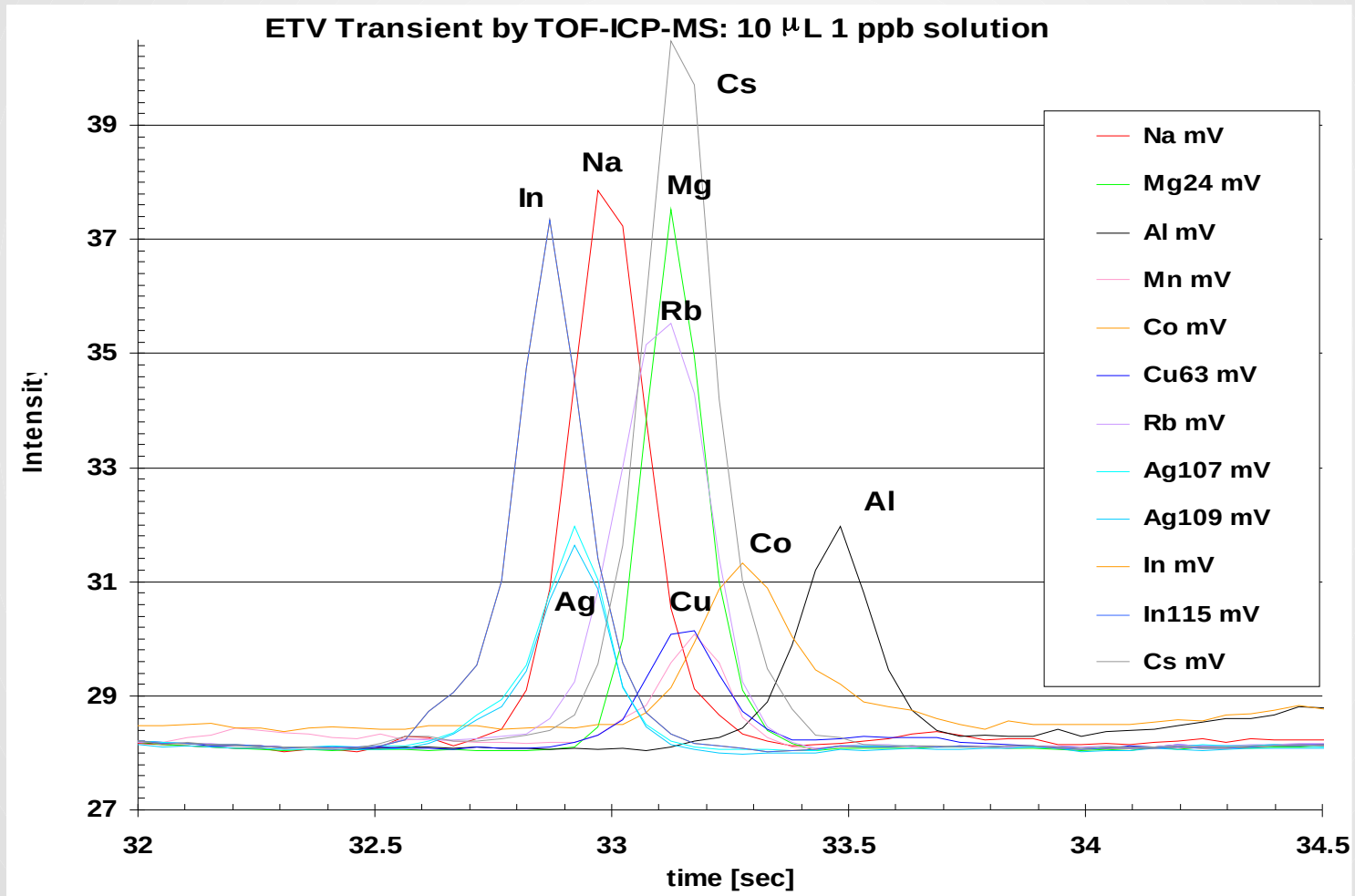


- Ion of mass  $X$ , slightly faster (more kinetic energy)
- Ion of mass  $Y$ , slightly slower (less kinetic energy)

# ICP-TOF-MS



# ICP-TOF-MS



# Interference izobarické překryvy

<b>Interferent</b>	<b>analyt</b>	<b>korekce</b>
<b><math>^{48}\text{Ca}^+</math></b>	<b><math>^{48}\text{Ti}^+</math></b>	<b><math>^{44}\text{Ca}^+</math></b>
<b><math>^{58}\text{Fe}^+</math></b>	<b><math>^{58}\text{Ni}^+</math></b>	<b><math>^{56}\text{Fe}^+</math></b>
<b><math>^{64}\text{Ni}^+</math></b>	<b><math>^{64}\text{Zn}^+</math></b>	<b><math>^{60}\text{Ni}^+</math></b>

# Polyatomické interference

- Ar: monomer a dimer, kombinace mezi izotopy 36 (0,33%), 38 (0,06%) a 40 (99,6%).
- voda: O, OH, kombinace s Ar
- vzduch: N<sub>2</sub>, N<sub>2</sub>H, NO, O<sub>2</sub>
- kyseliny, Cl, S, kombinace s Ar, O, H
- Stabilní oxidy, LaO, CeO,.....



# Izobarické interference na bázi argonu

m/z	Molekulové ionty	analyt
40	Ar	Ca
42	ArH <sub>2</sub>	Ca
52	ArC	Cr
54	ArN	Fe, Cr
55	ArNH	Mn
56	ArO	Fe
57	ArOH	Fe
75	ArCl	As
77	ArCl	Se
80	ArAr	Se
91	ArOCl	Zr
93	ArOCl	Nb

# Potlačení spektrálních interferencí

- Použitím lepšího spektrálního rozlišení
- Použitím « cold » podmínek v ICP pro snížení tvorby iontů s argonem.
- Použitím reakční cely pro disociaci rušících iontů
- Použitím kolizní cely pro odstranění rušících iontů

# Rušení $^{40}\text{Ar}^{16}\text{O}^+$ vs. $^{56}\text{Fe}^+$

- Cold plasma:  
Snížení tvorby  $\text{Ar}^+$  a tedy i  $\text{ArO}^+$
- High resolution:  
Separace píků  $\text{ArO}^+$  and  $\text{Fe}^+$
- Reakce v plynné fázi/kolize v cele:  
$$\text{ArO}^+ + \text{NH}_3 \rightarrow \text{ArO} + \text{NH}_3^+$$

# Podmínky „studeného (cold, cool)“ ICP

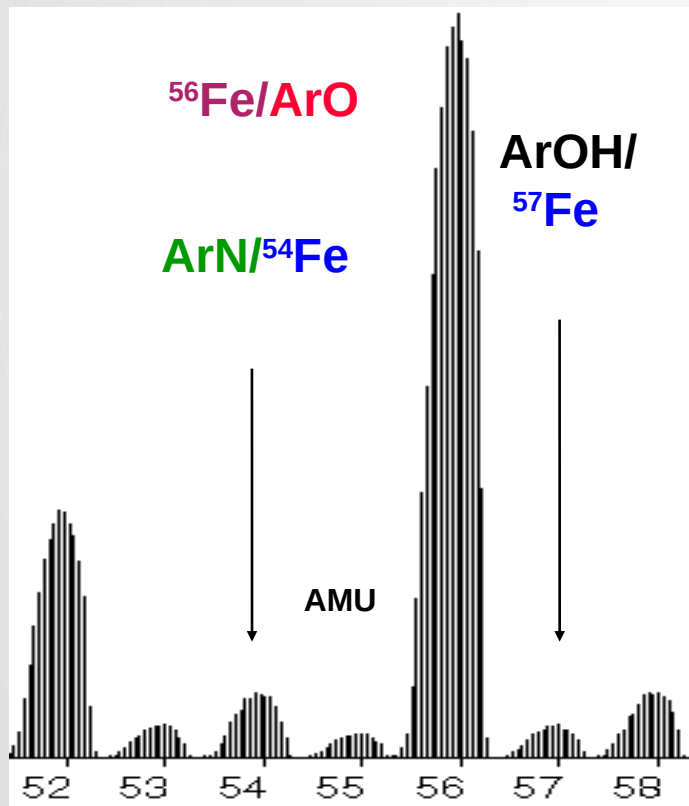
- Nízký příkon, vysoký průtok nosného plynu.
- Vhodné pro roztoky s malým obsahem rozpuštěných látek.
- Eliminuje interference  $\text{Ar}^+$ ,  $\text{ArO}^+$ ,  $\text{ArH}^+$ ,  $\text{ArCl}^+$ ,  $\text{ArC}^+$ ,  $\text{C}_2^+$ .
- Zvyšuje úroveň  $\text{MO}^+$  z  $<1\%$  až na  $>20\%$ .
- Významné matrix efekty (nerobustní podmínky v ICP).

# Rozlišení polyatomických interferencí

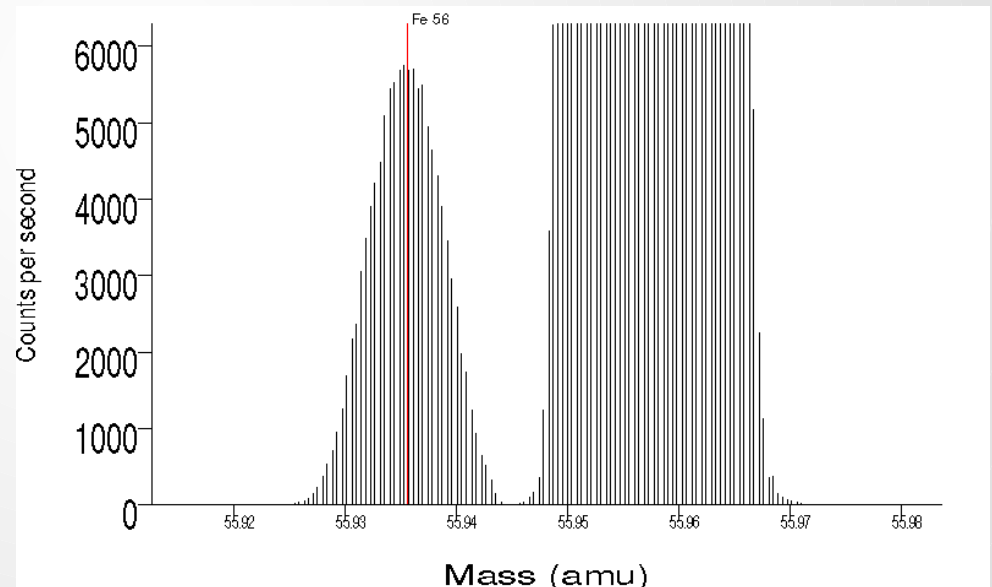
Analyt	Interferent	Požadované rozlišení
$^{56}\text{Fe}^+$	$^{40}\text{Ar}^{16}\text{O}^+$	2500
$^{28}\text{Si}^+$	$^{14}\text{N}_2^+$	960
$^{32}\text{S}^+$	$^{16}\text{O}_2^+$	1800
$^{51}\text{V}^+$	$^{35}\text{Cl}^{16}\text{O}^+$	2570
$^{52}\text{Cr}^+$	$^{40}\text{Ar}^{12}\text{C}^+$	2370
$^{80}\text{Se}^+$	$^{40}\text{Ar}_2^+$	9640
$^{39}\text{K}^+$	$^{38}\text{Ar}^1\text{H}^+$	5700
$^{40}\text{Ca}^+$	$^{40}\text{Ar}^+$	199000
$^{75}\text{As}^+$	$^{40}\text{Ar}^{35}\text{Cl}^+$	8000

# Separace signálů analytu a interferentu

Kvadrupólový ICP-MS



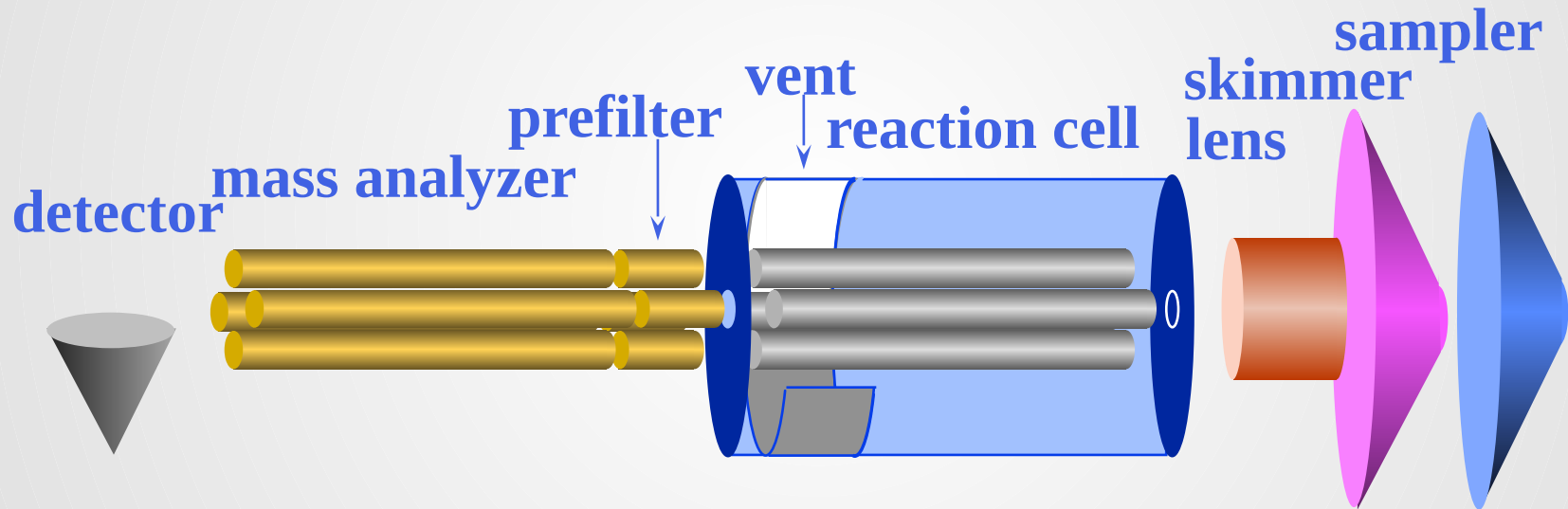
ICP-MS s vysokým rozlišením



# Reakční (kolizní) cely

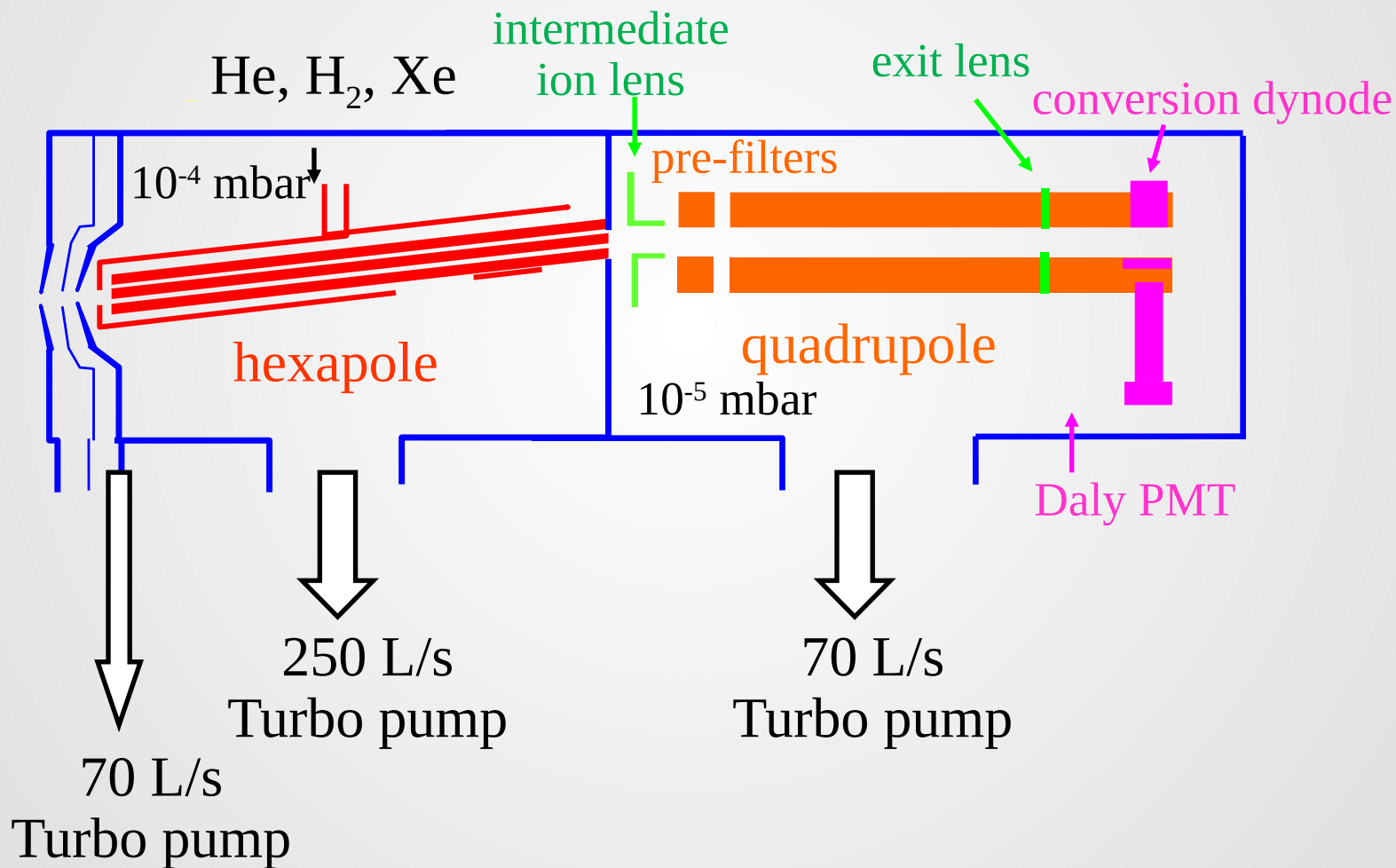
- Reakce v radiofrekvenční kvadrupólové cele (DRC, dynamic reaction cell, PE 6100),
- Kolize v radiofrekvenční-hexapólové (oktopólové) cele (Micromass Platform, TJA ExCell).

# Perkin Elmer ELAN 6100DRC

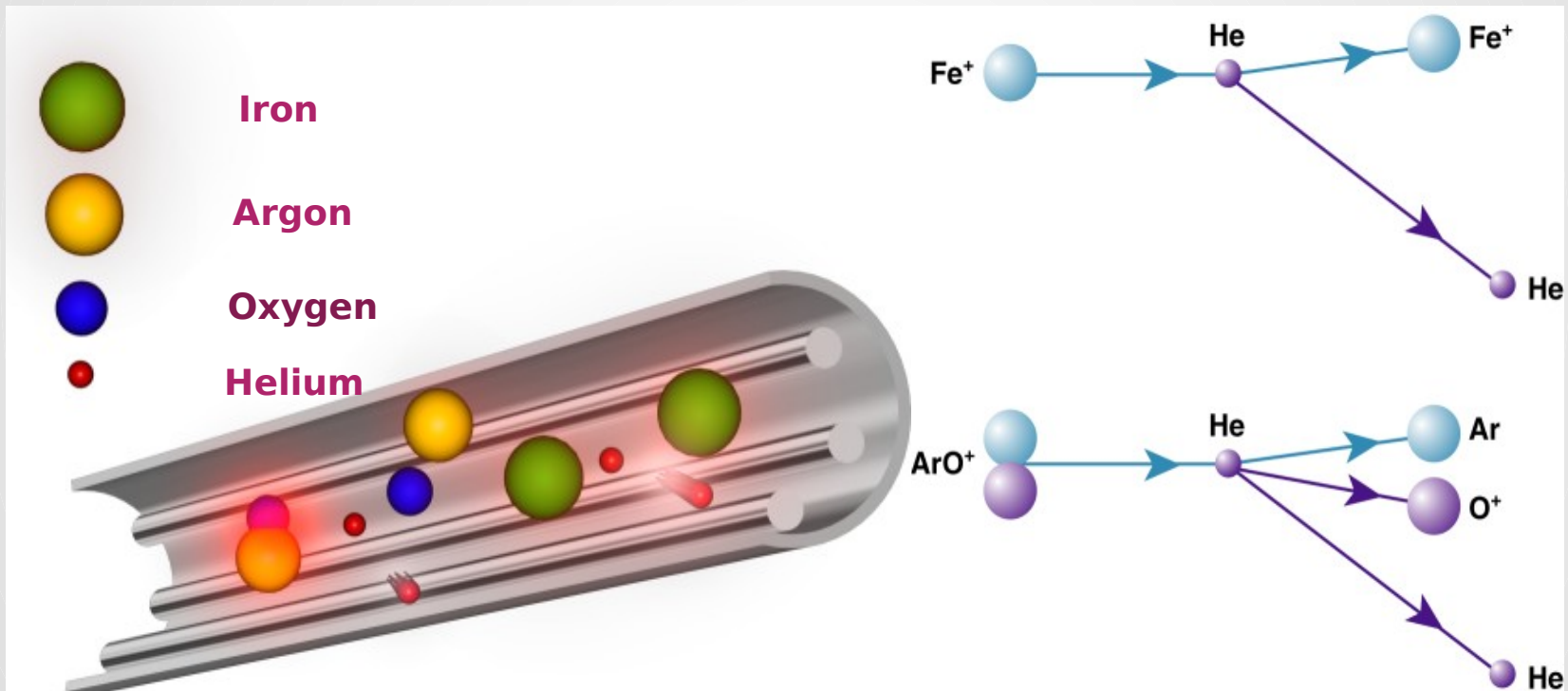




# Kolizní cela, Micromass



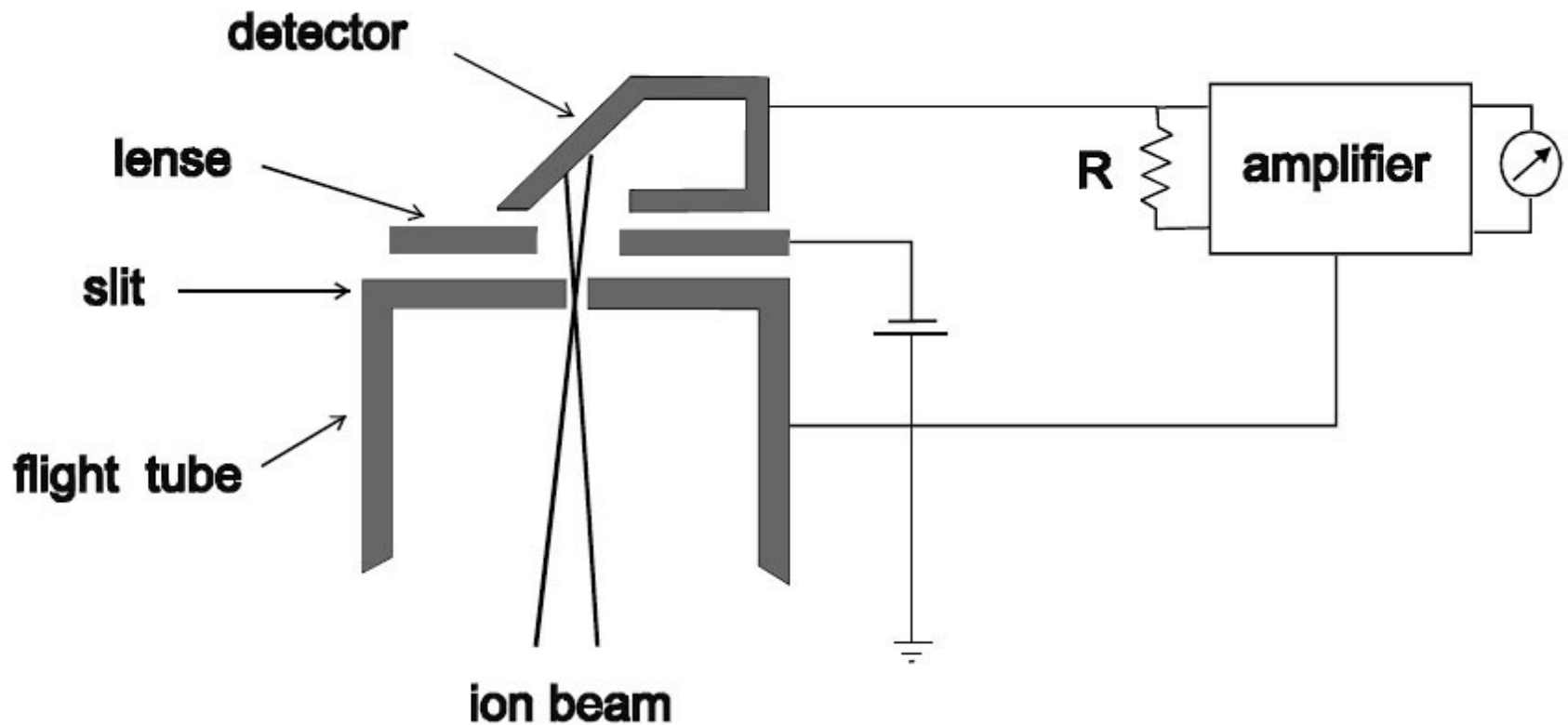
# Hexapól



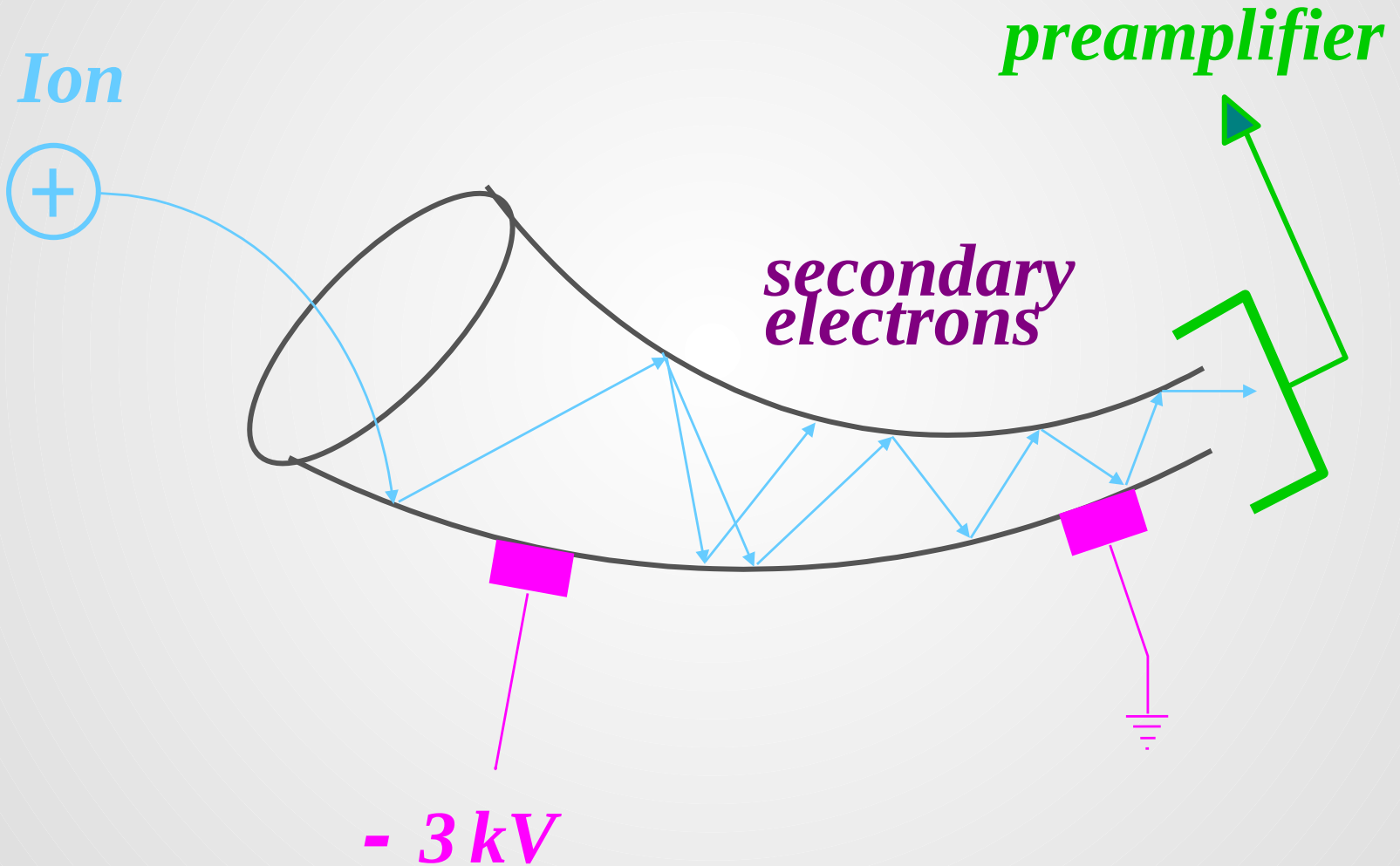
# Detektory

- Faraday cup (lower sensitivity and long time constant) for intense ion signals
- Continuous dynode electron multiplier (CEM), such as the channeltron.
- Discrete dynode electron multiplier.
- Scintillator + photomultiplier

# Faraday cup

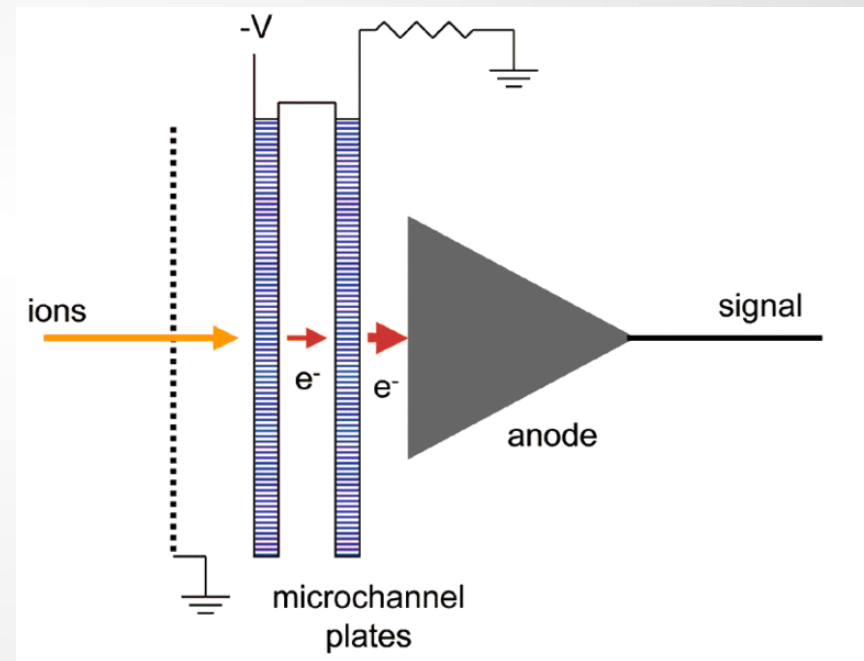


# Channeltron

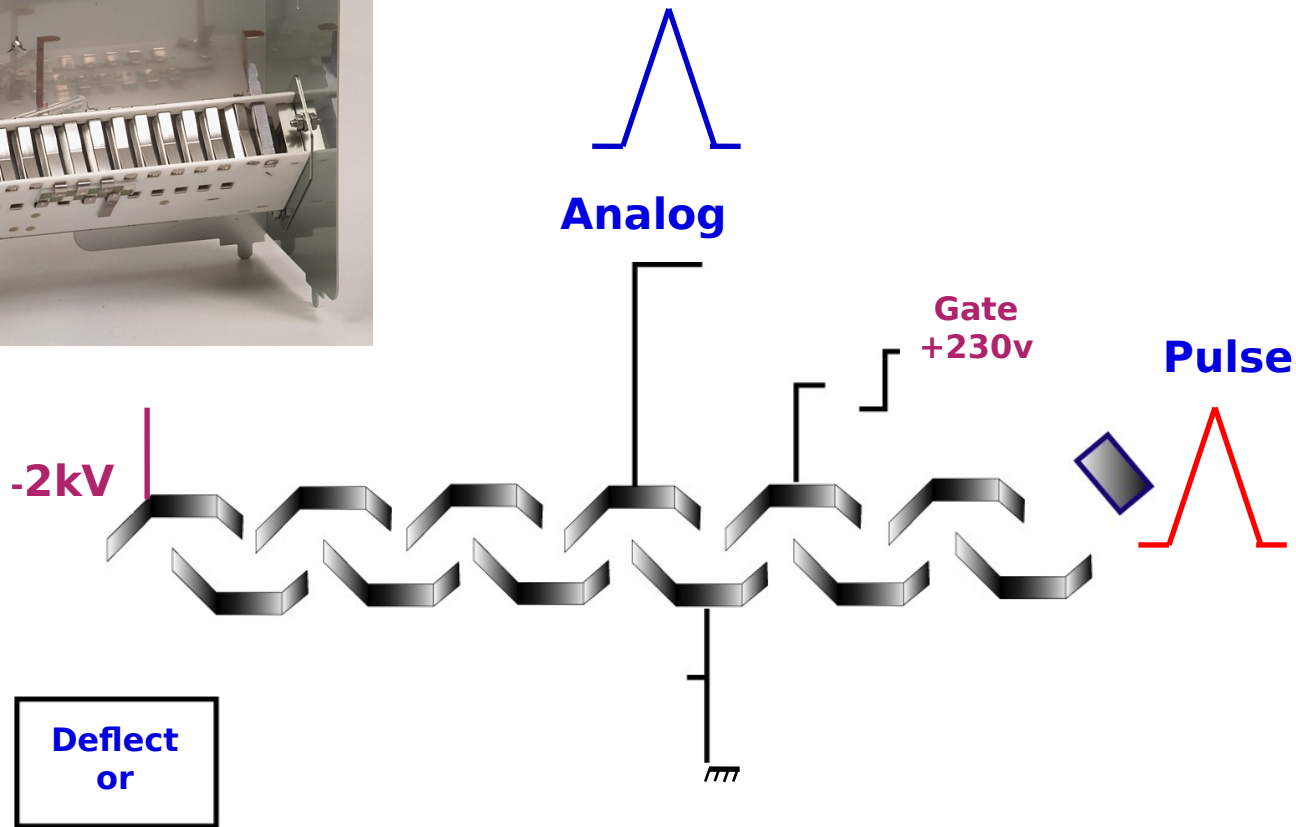
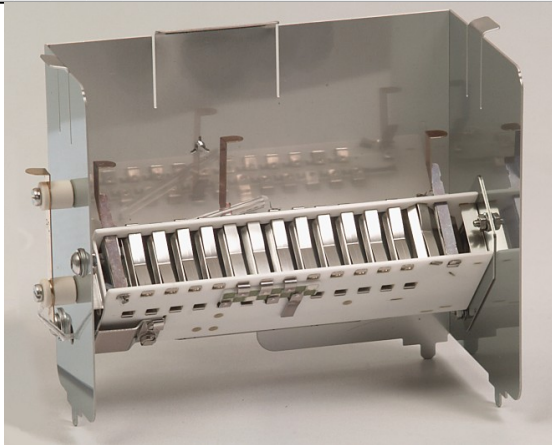


# Microchannel plate detector (MCP)

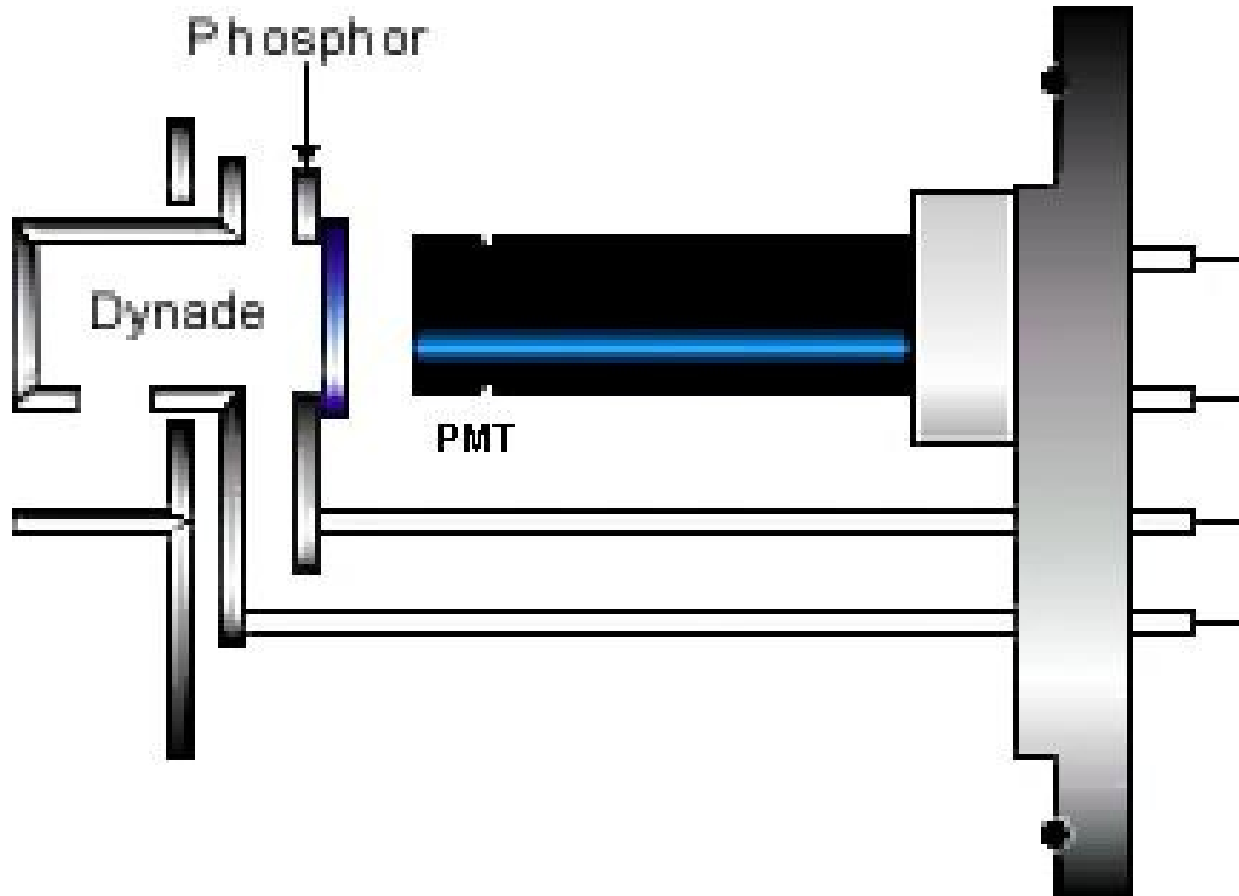
- Mikrokanálová deska je vyrobena z vysoce odporového materiálu obvykle 2 mm silného s pravidelnou řadou drobných trubek nebo štěrbin (microchannels) s průměrem přibližně  $10\mu\text{m}$ . Každý mikrokanálek je kontinuální dynoda, tedy elektronový násobič, ve kterém probíhá násobení působením silného elektrického pole.



# Elektronový násobič



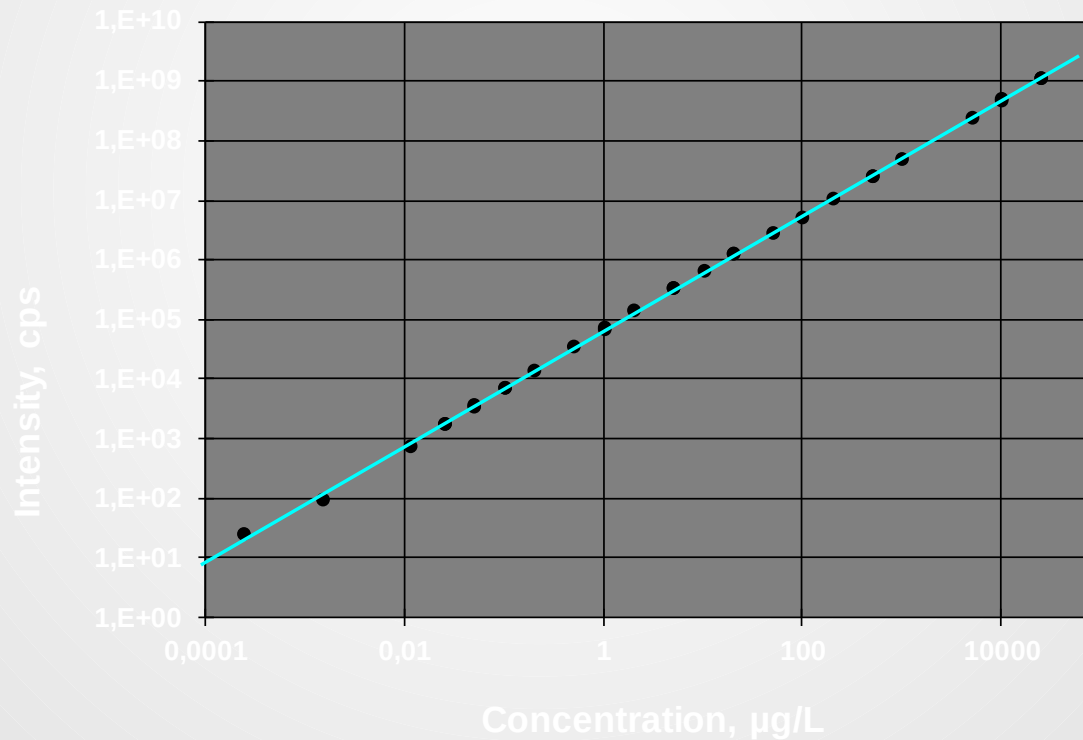
# Scintilátor + fotonásobič





# Dynamický rozsah

- Zvýšení dynamického rozsahu kombinací čítání pulsů a analogového měření.
- Použití dvoustupňového elektronového násobiče



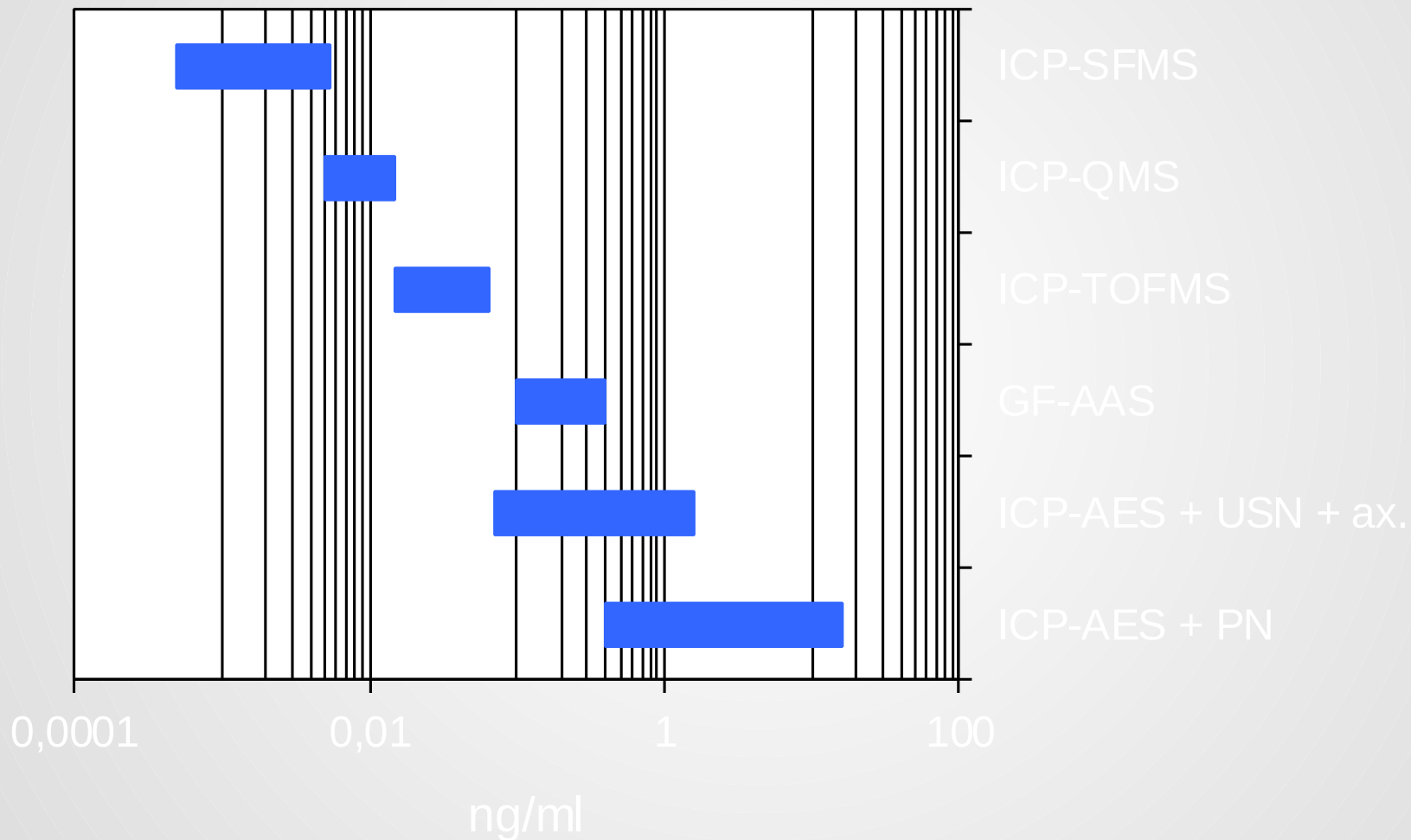
# rozpuštěného vzorku (solnost)

- Prakticky použitelné limitní koncentrace
  - 0.1%  $\text{AlCl}_3$
  - 0.3%  $\text{NaCl}$
  - 20% ve vodě rozpustné organiky
- Postupné blokování kónusů způsobuje drift; lze jej ovlivnit:
  - Minimalizovat vhodnou délkou proplachu zmlžovače
  - Kompenzovat porovnávacím prvkem
  - Eliminovat použitím flow injection

# Izotopové poměry

- QMS je sekvenční, kdežto TOF-MS a multikolektor SFMS jsou simultánní.
- Nejlepší RSD:
  - ICP-QMS:  $< 0.1\%$
  - ICP-TOFMS:  $< 0.1\%$
  - ICP-MC-SFMS:  $< 0.01\%$

# Meze detekce pro Ni



# Zhodnocení instrumentace

- **ICP-QMS** je „workhorse“: spolehlivý, relativně levný, víceúčelový, cold plasma, kolizní / reakční cela.
- **ICP-SFMS:**  
Při nízkém RP: bezkonkurenční LOD  
Při vysokém RP: řešení polyatomických interferencí
- **Multikolektor:**  
Nejpřesnější izotopové poměry.
- **ICP-TOFMS:**  
Ideální pro transientní signály.

# Limitující faktory ICP/MS

- **roztoky o vysoké koncentraci solí** (mořská voda, krev...), které způsobují blokování vstupních kónusů a mění energetické podmínky v plazmatu (nespektrální interference)
- **tvorba polyatomických částic**, která může v neznámých vzorcích působit falešné pozitivní signály u analyzovaných prvků (spektrální interference).
- **nespektrální interference** lze obvykle redukovat nebo zcela eliminovat díky extrémní citlivosti techniky vhodným nařaděním.
- U **spektrálních interferencí polyatomických částic** je jejich odhalení a eliminace závislá především na zkušenosti analytika, který by měl před analýzou zcela nového typu vzorků provést důkladný průzkum majoritních složek a posoudit eventuální příčiny vzniku nečekaných polyatomických iontů.

# Biologie a medicína

- Vzorke **organických tkání** nebo **tělních tekutin** jsou prakticky ideálními typy, neboť obsahují převážně při tlakové mineralizaci snadno odstranitelné prvky jako C, O a N, které se převedou na plyny nebo vodu. Zároveň se stále se prohlubujícími znalosti o mechanismu působení stopových prvků v metabolismu živých organismů a sledování jejich distribuce v jednotlivých tělních tkáních nebo dokonce i buňkách vede k neustále snaze tyto znalosti rozšiřovat především hledáním jejich biologické aktivity v závislosti na **fyzikálně chemické formě jejich výskytu (speciaci)**. Výsledky sledování specií a jejich aktivity může v řadě případů napomoci k odhalení příčin nemocí nebo různých alergií, přičemž lze často jako vzorek použít nepatrné části orgánů. Často je tak možno analyzovat **archeologické vzorky**.

# Životní prostředí

- Obsah **toxických kovů** v životním prostředí je velmi důležitým parametrem pro posouzení jeho kvality, popřípadě vlivu lidské činnosti na jeho stav. Díky vysoké citlivosti lze analyzovat části rostlin (houby, mechy, lišejníky aj. – tzv. hyperakumulátory) nebo těl živočichů (ulity, lastury mořských měkkýšů, tkáně korálů, drobných savců a ryb) schopné akumulovat těžké kovy z okolního prostředí a sledovat změny časové i prostorové distribuce prvků u jednoho jedince. Například sledování obsahu rtuti v jednotlivých vrstvách sedimentů může poskytnout představu u postupných změnách v období řádu desítek až stovek let. Podobně jsou v rámci kontaminace potravních řetězců nejvíce vypovídající skupinou predátoři, neboť v jejich tkáních (především játra, ledviny aj.) se bioakumulací hromadí těžké kovy více než u býložravců.



# Geologie

- Vysoká citlivost techniky ICP/MS hraje významnou roli při stanovení **velmi málo zastoupených prvků** (např. drahé kovy, lanthanoidy, uran aj.) v geologických materiálech nebo stanovení **obsahu jodu** v podzemních vodách. Porovnání vzájemných poměrů jednotlivých **prvků vzácných zemin** ve vzorcích je používáno k určení geologické historie hornin, neboť jsou přirozenou součástí prakticky všech hornin. Díky podobnosti chemických vlastností je jejich poměr zachován i po roztavení a zpětné krystalizaci nebo po tuhnutí v amorfni podobě, takže si jej hornina nese jako otisk prstu. Jejich vzájemné poměry tak mohou podat informaci o místě vzniku zkoumané horniny nebo o jejím transportu v zemské kůře či na povrchu Země. Významnou aplikací je také **lokální mikroanalýza** ve spojení s laserovou ablací.

# Izotopové poměry

Většina prvků se v přírodě vyskytuje ve formě několika **stabilních izotopů**. V přírodě se setkáme i s **izotopy nestabilními**, jejichž původ je obvykle rovněž přirozený (vznikají na př. působením kosmického záření nebo jadernými reakcemi v zemské kůře). Vedle toho přibývá i počet uměle vyrobených izotopů. Při zjišťování poměru izotopů je nutno dosáhnout velké přesnosti a správnosti získaných dat, neboť koncentrační rozdíly jsou obvykle v řádu jednotek nebo desetin procenta. Pro tyto účely jsou používány **sektorové spektrometry v uspořádání s multikolektorem**. Jako příklad praktického použití lze uvést např. sledování izotopového zastoupení **olova** nebo **uranu**.

V přírodě se běžně setkáváme pouze s přirozeným izotopem  $^{204}\text{Pb}$  s průměrným zastoupením 1,4% a třemi produkty jaderného rozpadu uranu nebo thoria – izotopy  $^{206}\text{Pb}$  (24,1 %),  $^{207}\text{Pb}$  (22,1%) a  $^{208}\text{Pb}$  (52,3 %). Díky tomu se nepatrně liší vzájemné poměry zmíněných izotopů v závislosti na tom, jaké geologické složení měly dávné horniny.

Nejvíce zastoupeným izotopem přírodního uranu je  $^{238}\text{U}$  s výskytem přibližně 99,28 %, dále známe  $^{235}\text{U}$  (asi 0,72%). Technika ICP/MS umožňuje prokázat původ zvýšeného množství uranu v určitých lokalitách (státy bývalé Jugoslávie, Kuvajt nebo Irák), kde díky dělostřeleckému ostřelování došlo v určitých lokalitách k výraznému zvýšení výskytu izotopu  $^{238}\text{U}$ .

# Speciace

- Pro stanovení fyzikálně-chemických forem existence daného prvku (specií) se nejčastěji uplatňuje kombinace nechromatografických separačních technik (mikrokolonové separace, membranové (barierové) separace, extrakční techniky (l)/(l), (l)/(s) aj., extrakce pevnou fází (SPE), (ko-)precipitace, filtrace a další. Podstatně výhodnější jsou však kombinace ICP/MS a chromatografických a elektromigračních technik (tzv. hyphenated techniques) jako např. IC-ICP/MS, LC-ICP/MS, CE-ICP/MS a další. Významnou výhodou těchto technik je především vysoká citlivost detekce, snadné propojení a možnost snímání přechodových signálů.